

Pražské analytické centrum inovací

Projekt CZ.04.3.07/4.2.01.1/0002 spolufinancovaný ESF a Státním rozpočtem ČR

Chromatografické metody v analýze lipidů

Eva Tvrzická
1. LF UK Praha



ZÁKLADNÍ STAVEBNÍ KAMENY ŽIVÉ HMOTY

proteiny

glycidy

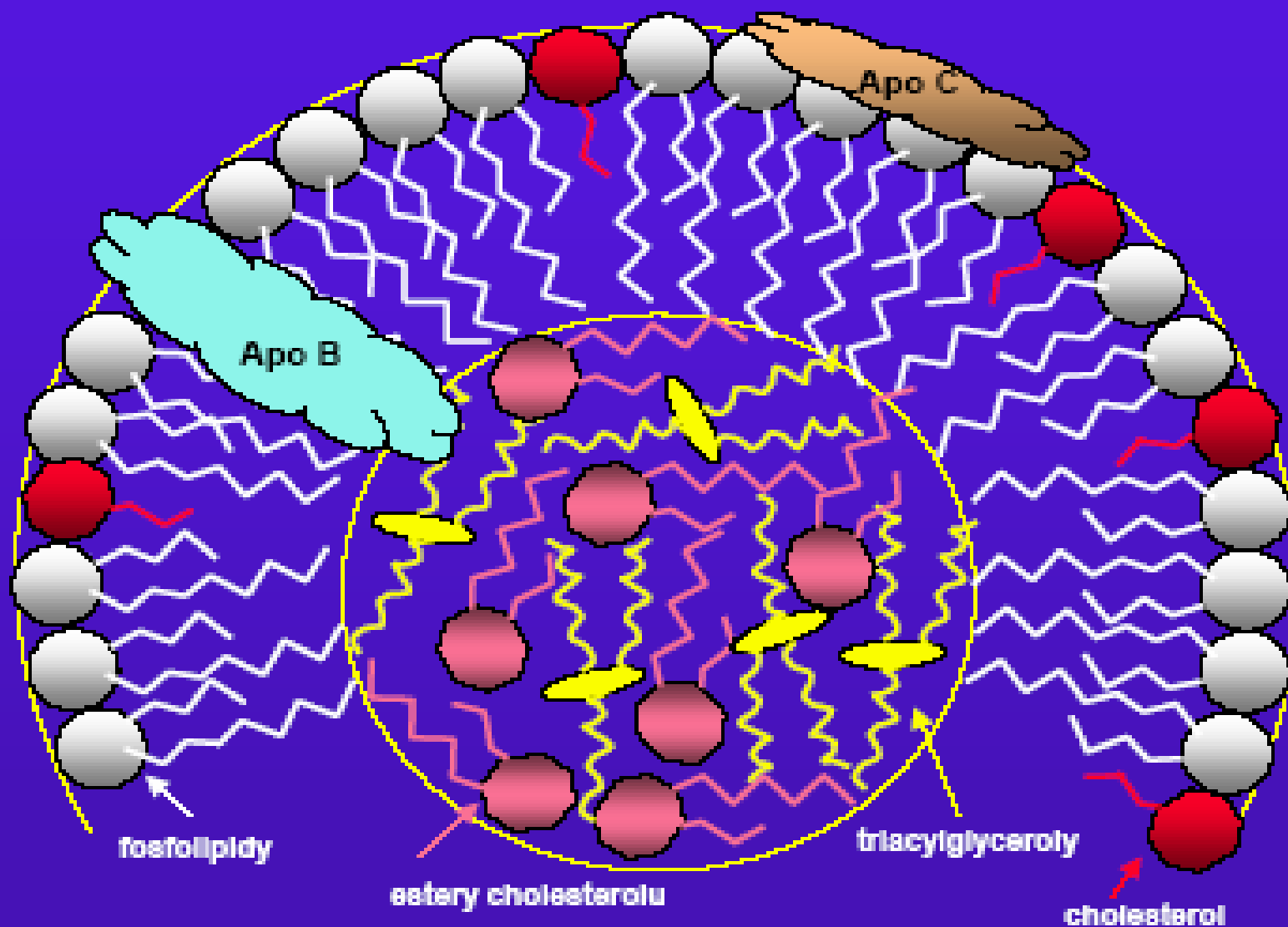
lipidy

cirkulující

membránové

LIPOPROTEINY

CIRKULUJÍCÍ FORMA LIPIDŮ



LIPOPROTEINY

FYSIKÁLNÍ VLASTNOSTI

LP	MW (Da)	Průměr (nm)	Hustota (g/ml)
CM	50 - 1,000,000,000	75 - 1200	< 0.930
VLDL	10 - 80,000,000	30 - 80	0.930 - 1.006
IDL	5 - 10,000,000	25 - 35	1.006 - 1.019
LDL	2 - 3,000,000	18 - 25	1.019 - 1.063
HDL	65 - 400,000	5 - 12	1.063 - 1.210

LIPOPROTEINY

ANALYTICKÉ METODY

PREPARACE – ULTRACENTRIFUGA

STANOVENÍ VELIKOSTI ČÁSTIC – HPLC (DIALYSA)

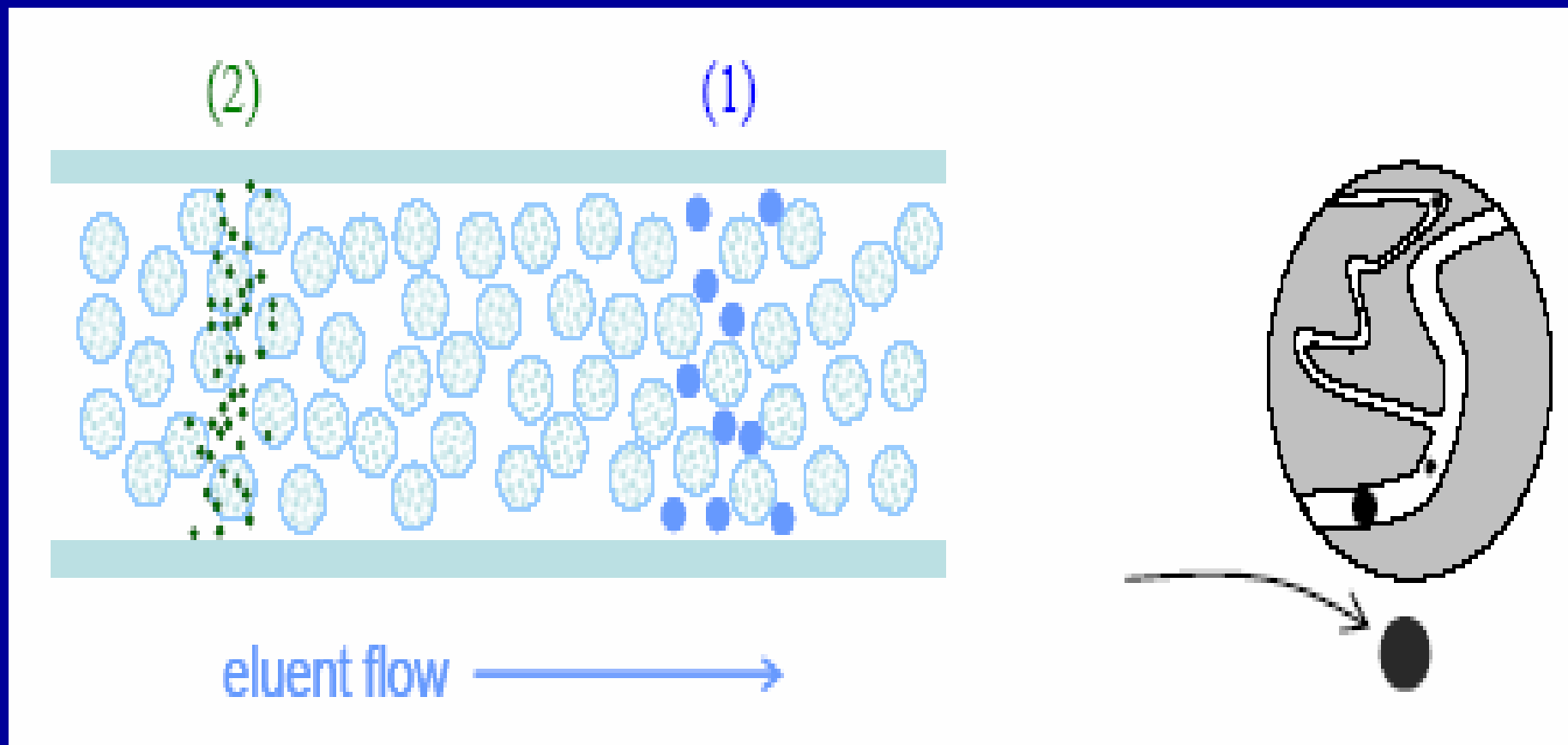
ANALYSA PROTEINOVÉ SLOŽKY – HPLC

ANALYSA LIPIDOVÉ SLOŽKY – TLC, HPLC

ANALYSA MOLEKULÁRNÍCH DRUHŮ - GC, HPLC

ALTERNATIVNÍ METODY

SEC, GPC, MSC - PRINCIP METODY



SEC, GPC, MSC - PODMÍNKY

Separace molekul podle velikosti

SF - silikagel (SiO_x)

polysacharidy (celulosa, dextran, agarosa)

polyakrylamid

MF - vodné roztoky pH 6 – 8

fosfát 7.2, tris(hydroxymethyl)aminomethan 8.1

NaCl 0.05 – 0.5M ↓ iontové interakce (protein-gel)

↓ neiontové interakce – detergent (ethylen glykol)

rozpouštědla (n-propanol, acetonitril)

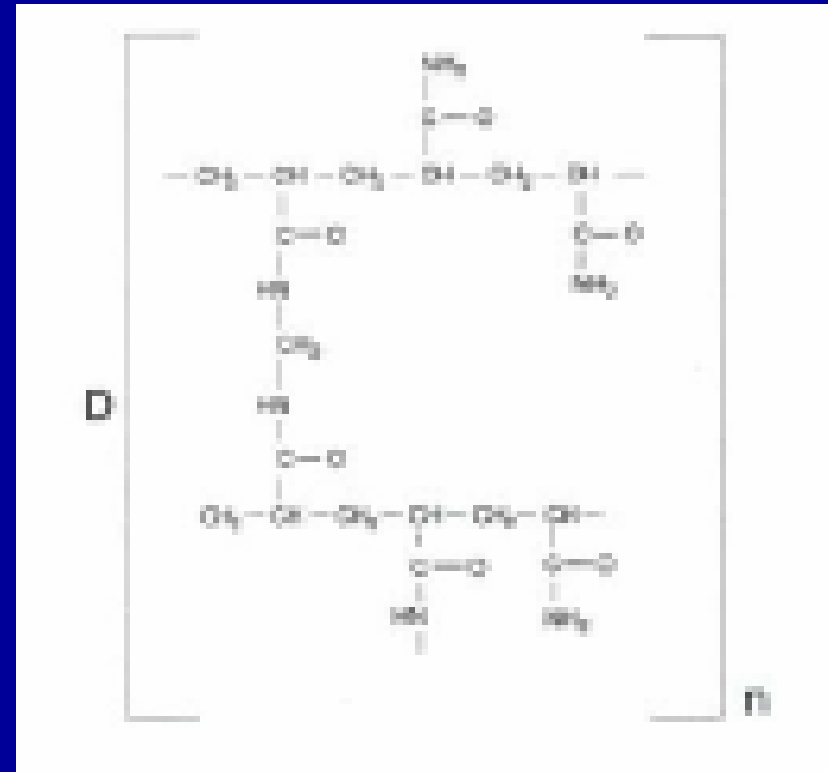
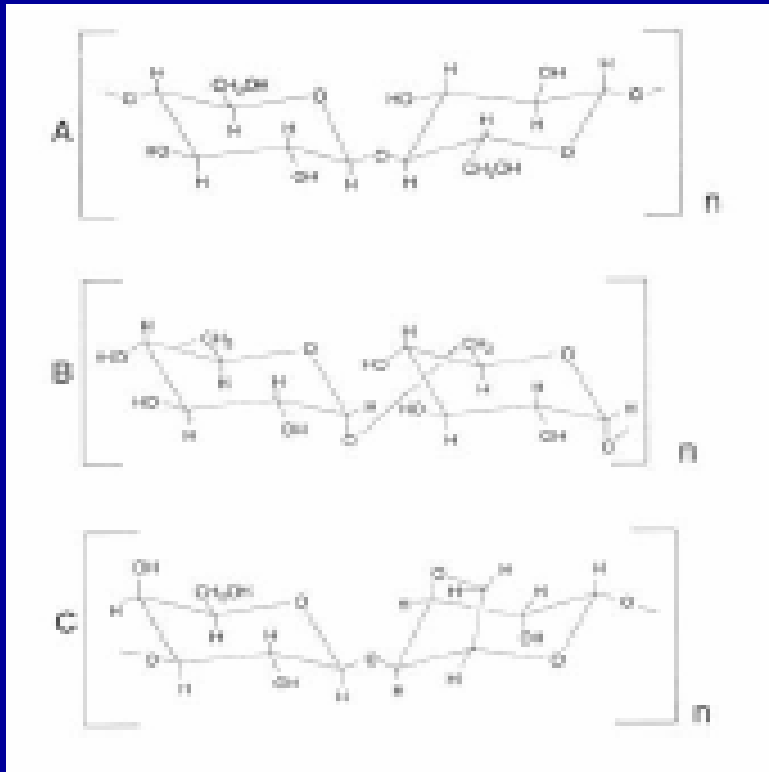
STRUKTURA SORBENTU

a) **celulosa**

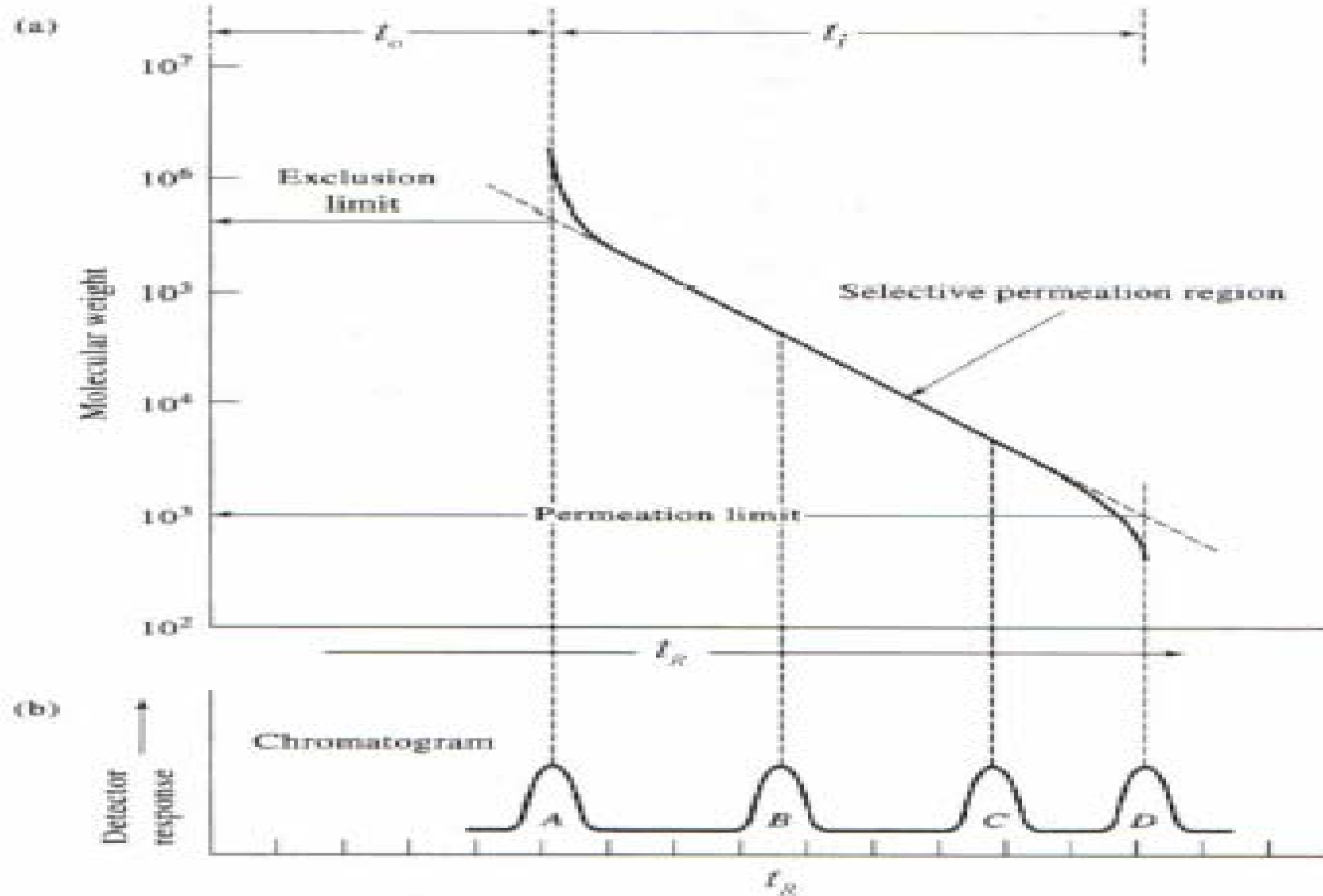
b) **dextran**

c) **Agarosa**

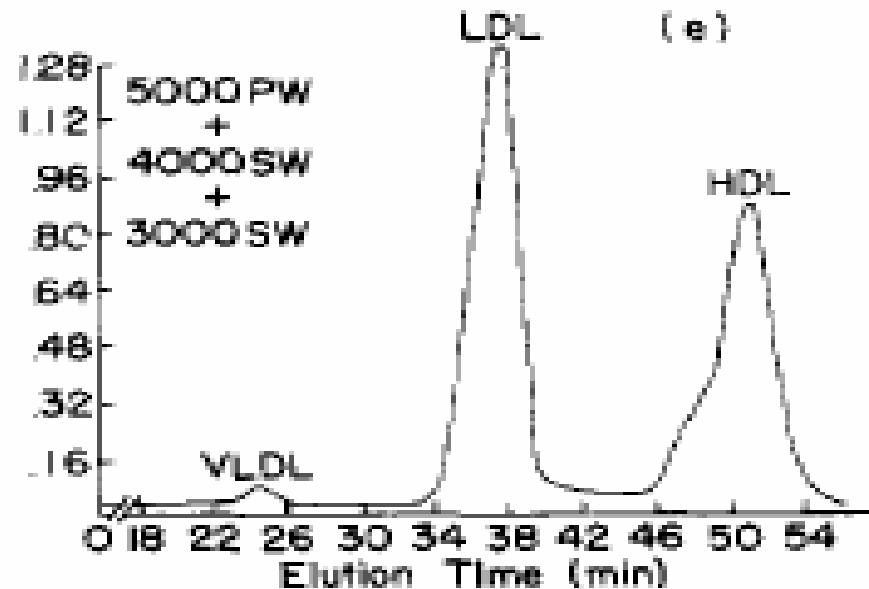
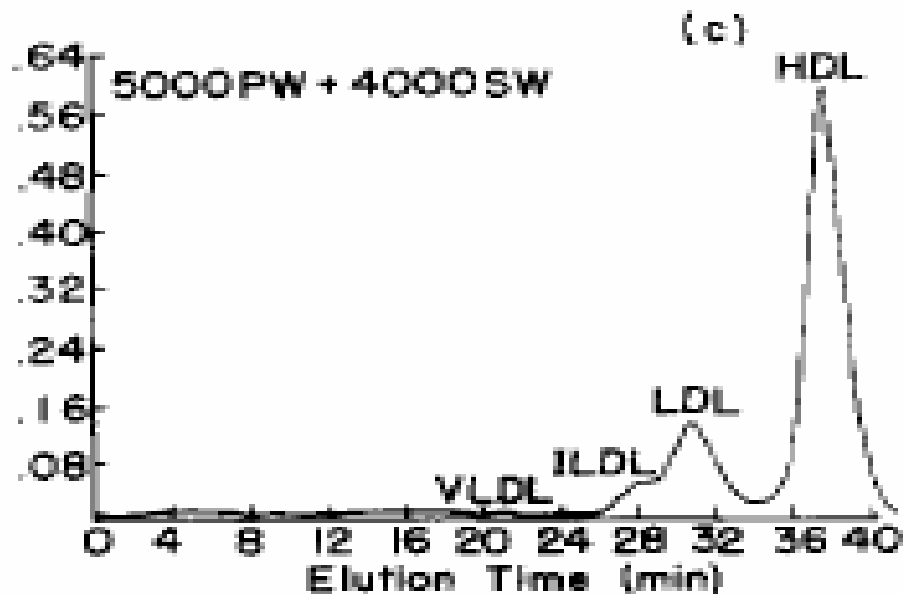
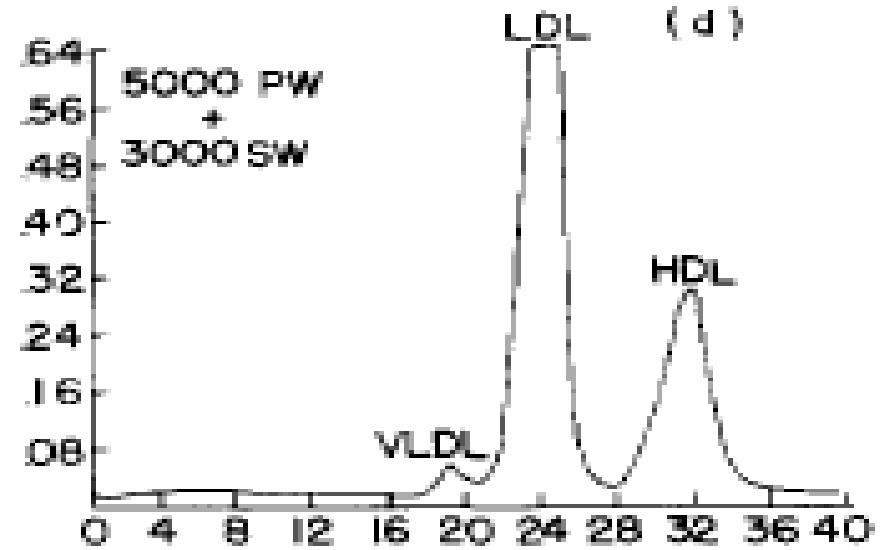
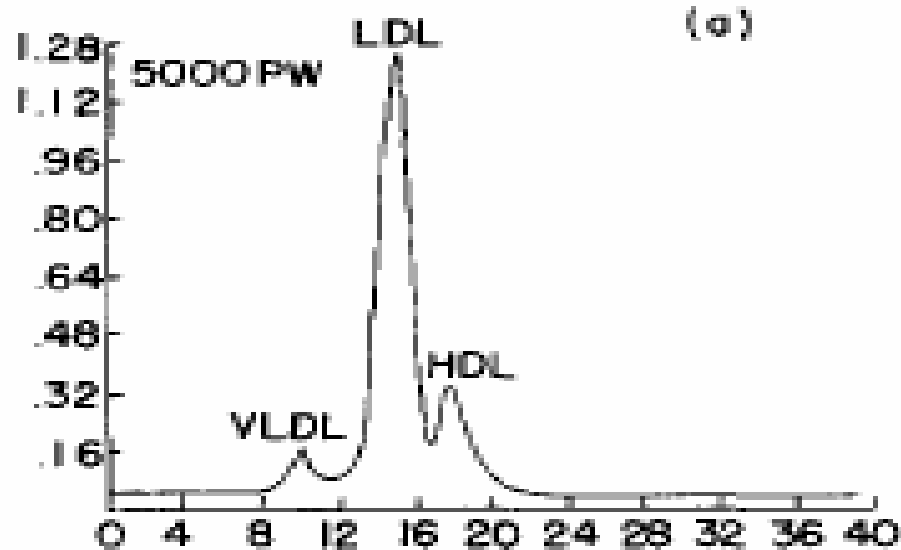
d) **polyakrylamid**



SEC - KALIBRACE

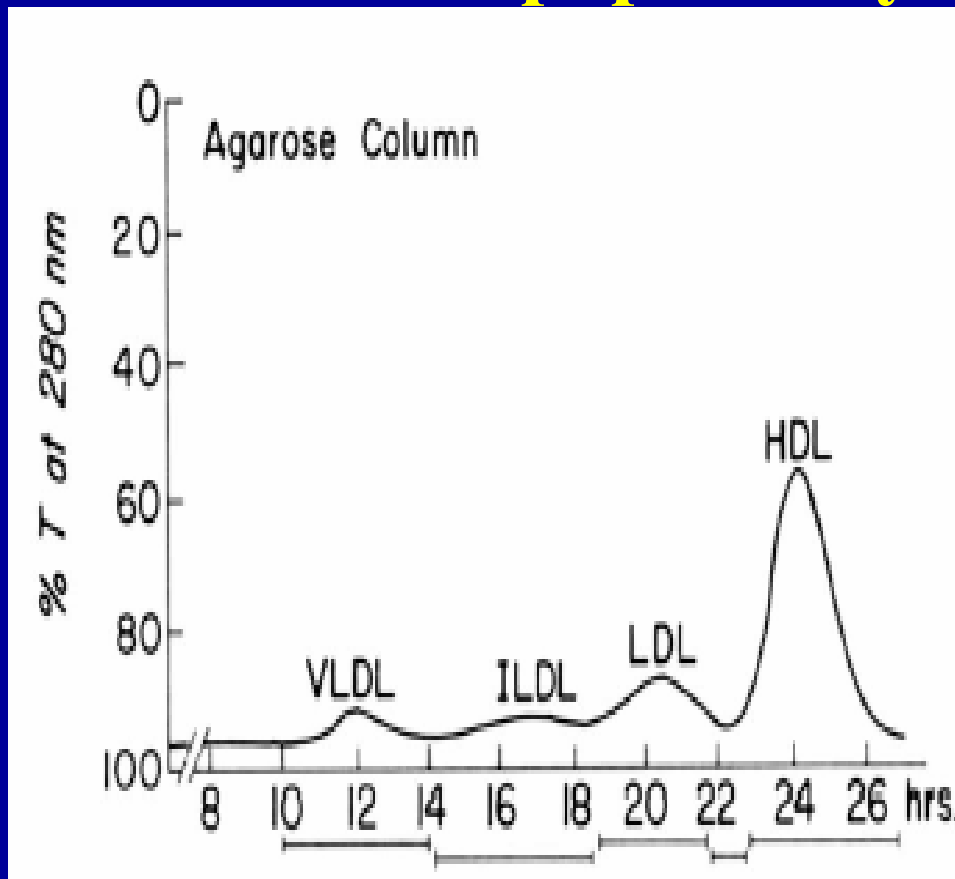


SEC - KOMBINACE KOLON

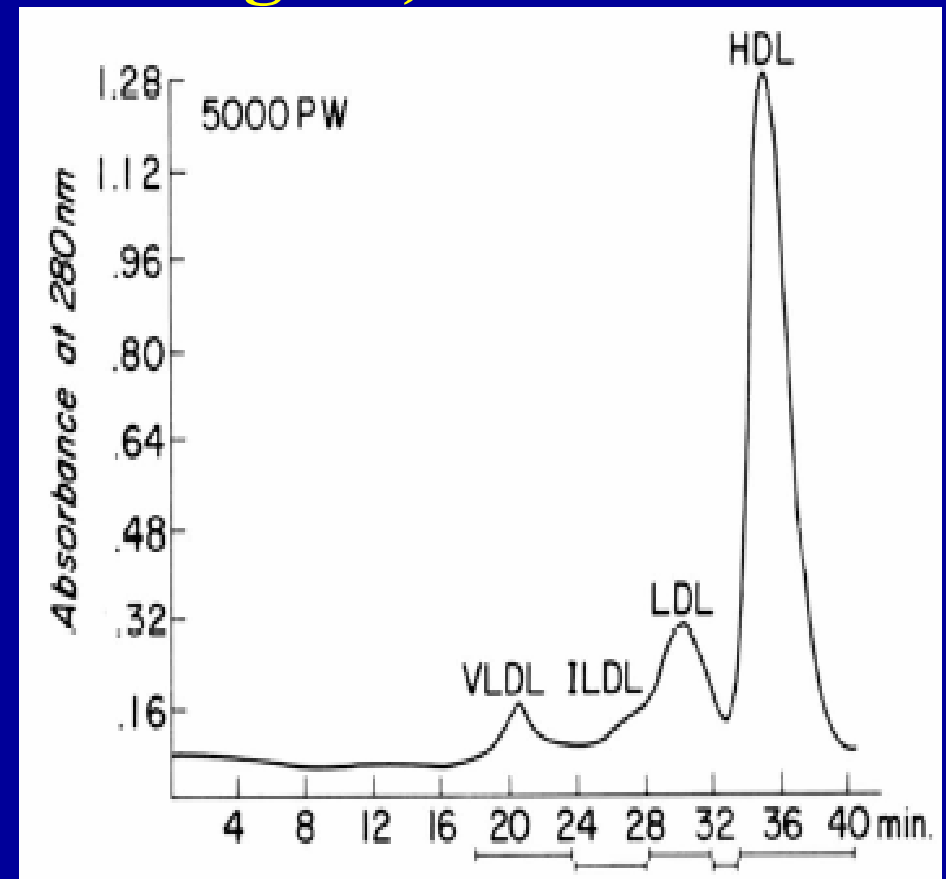


SEC - SROVNÁNÍ KOLON

lipoproteiny ($d < 1.225 \text{ g/ml}$)



1.5x90 cm, 0.9% NaCl pH 7.4, 7 ml/h, 4°C

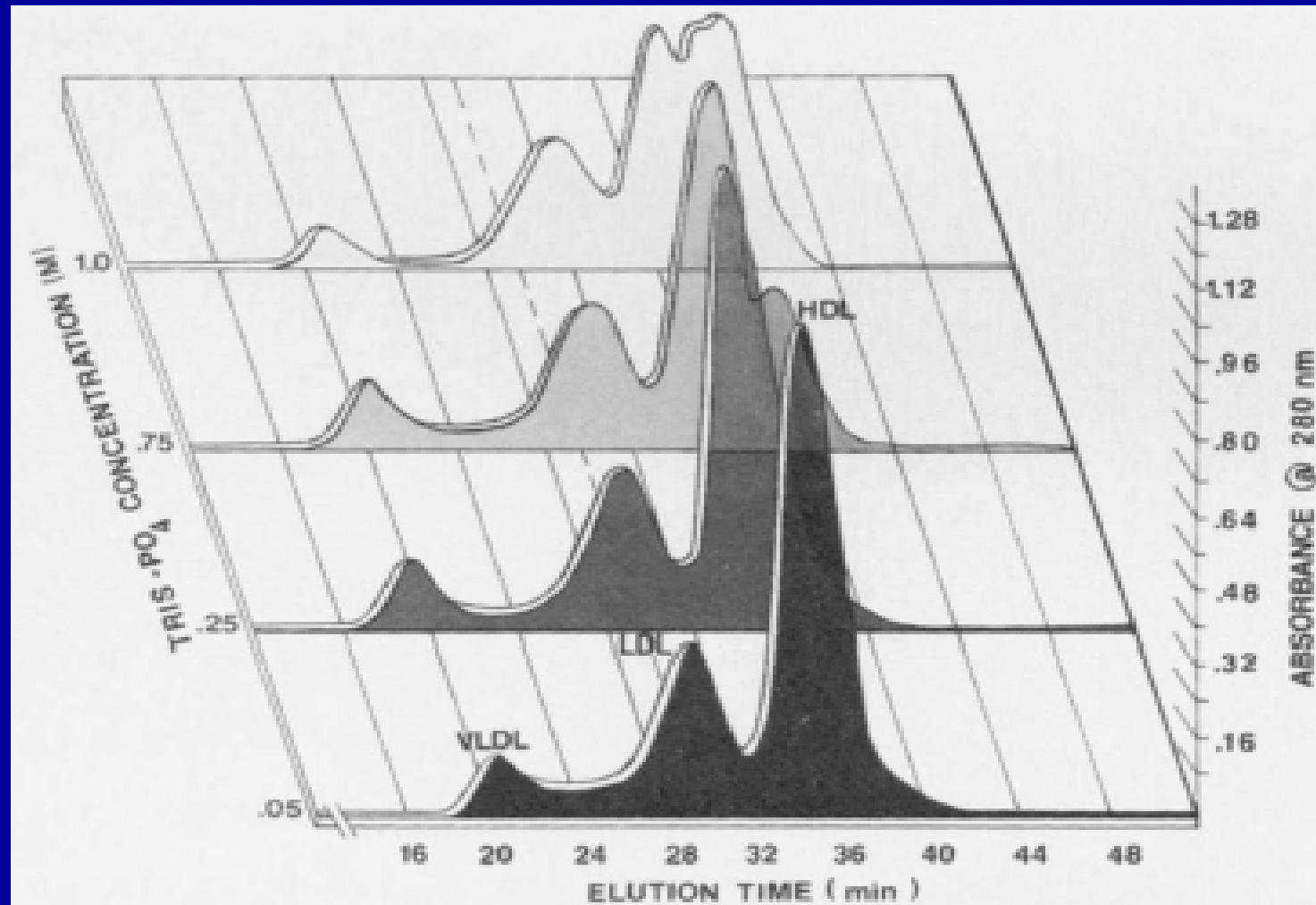


7.5x60 cm, 0.25M TrisPO₄, pH 7.6, 0.5 ml/min

Carroll 1983

SEC -VLIV MOBILNÍ FÁZE

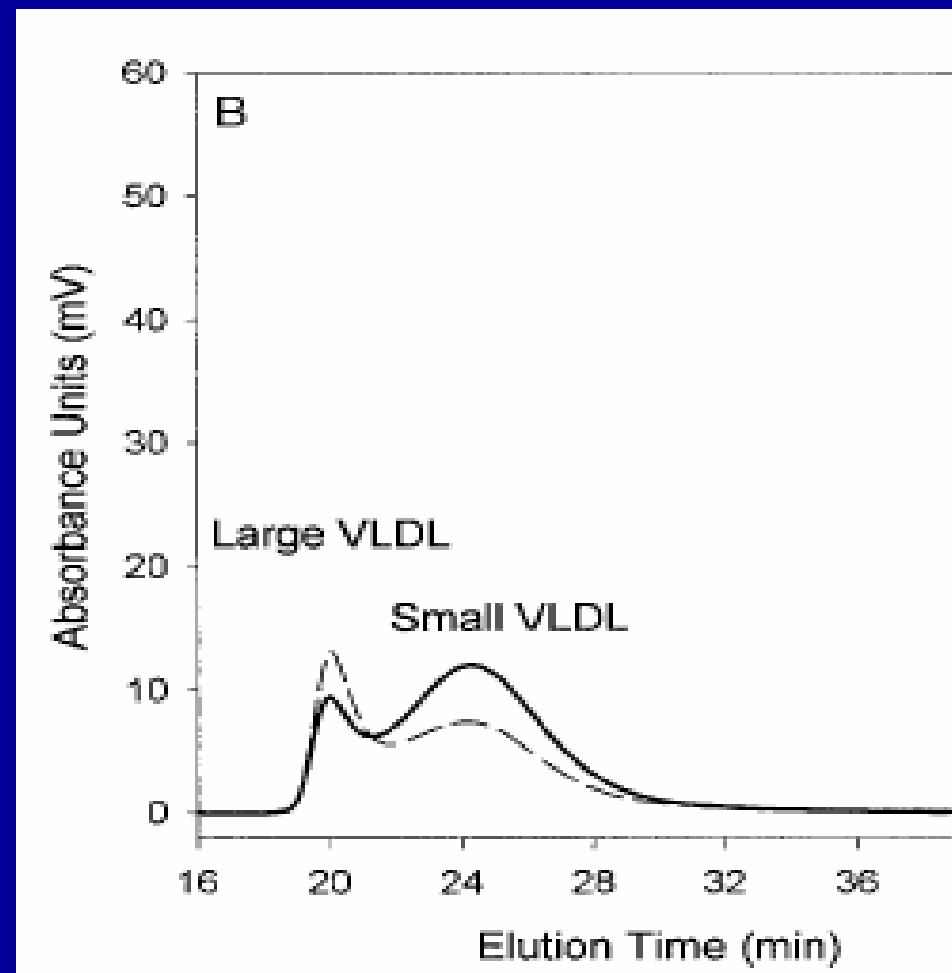
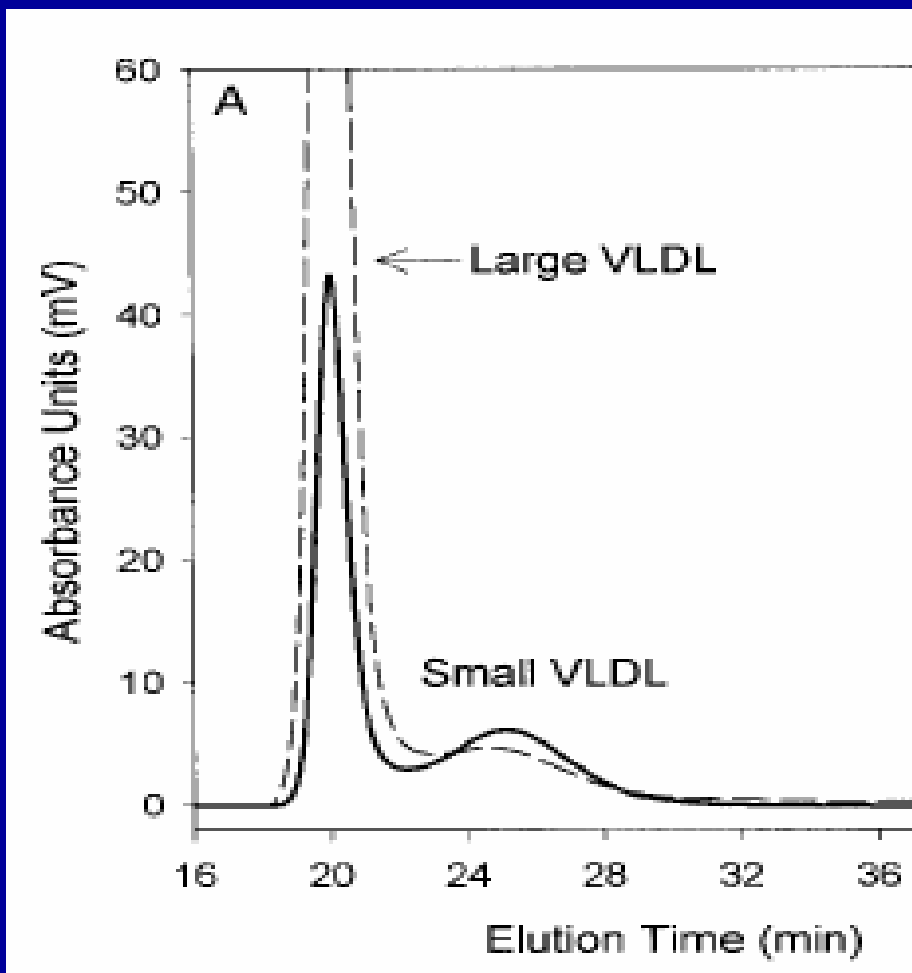
Lipoproteiny ($d < 1.225$ g/ml), TRIS-PO₄ pH 7.6



Carroll 1983

SEC – SROVNÁNÍ VZORKŮ

lipoproteiny ($d < 1.006 \text{ g/ml}$)



Superose 6HR, 1x30 cm, 0.05M PBS, pH 7.4, 0.5 ml/min

Usui 2002

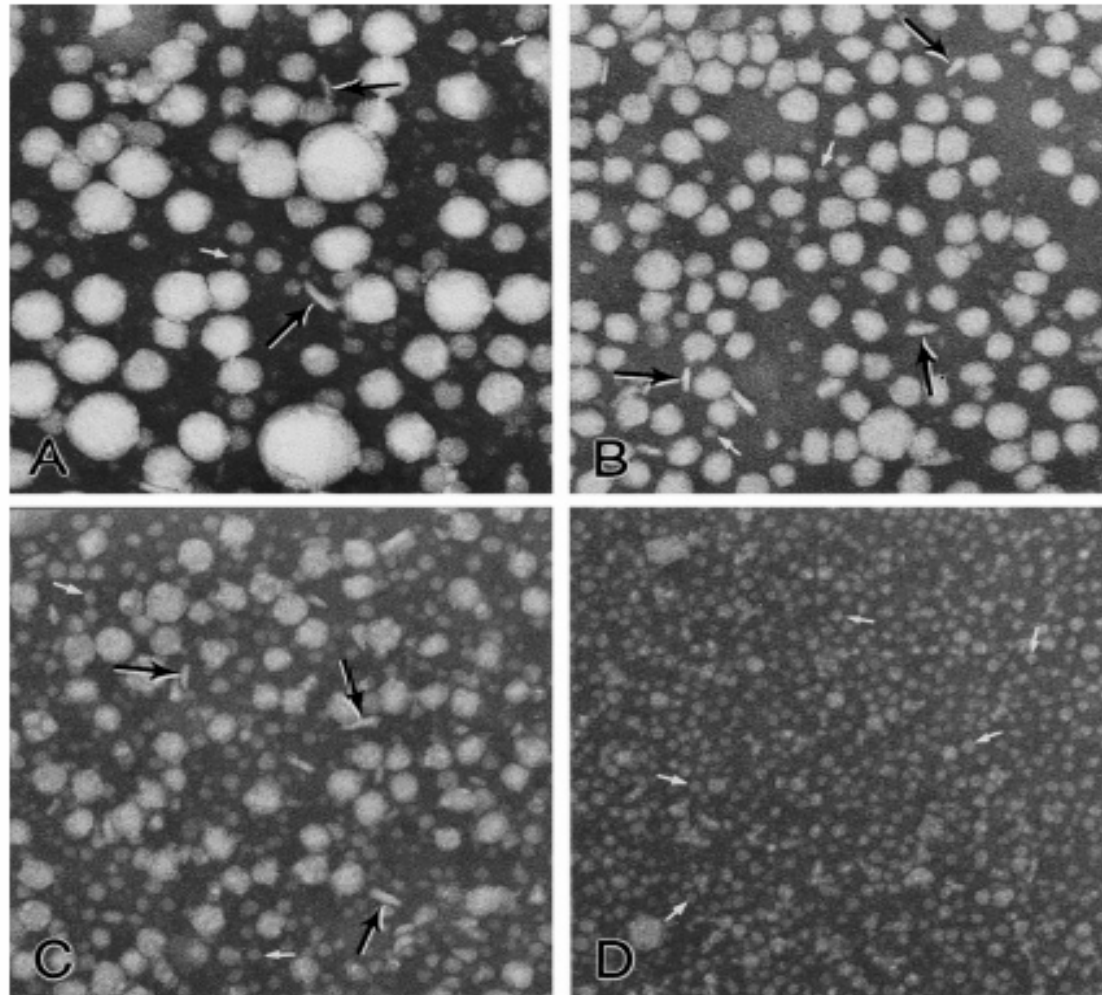
ELEKTRONOVÝ MIKROSKOP

a) 27 – 60 nm

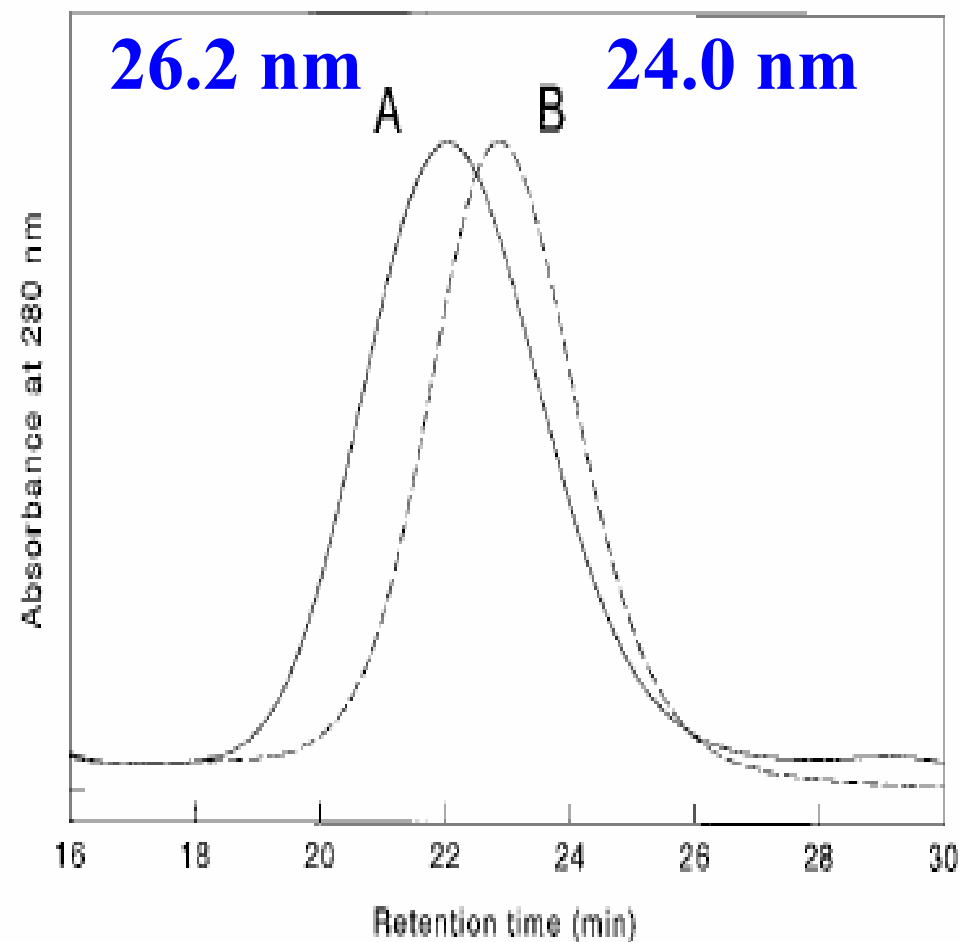
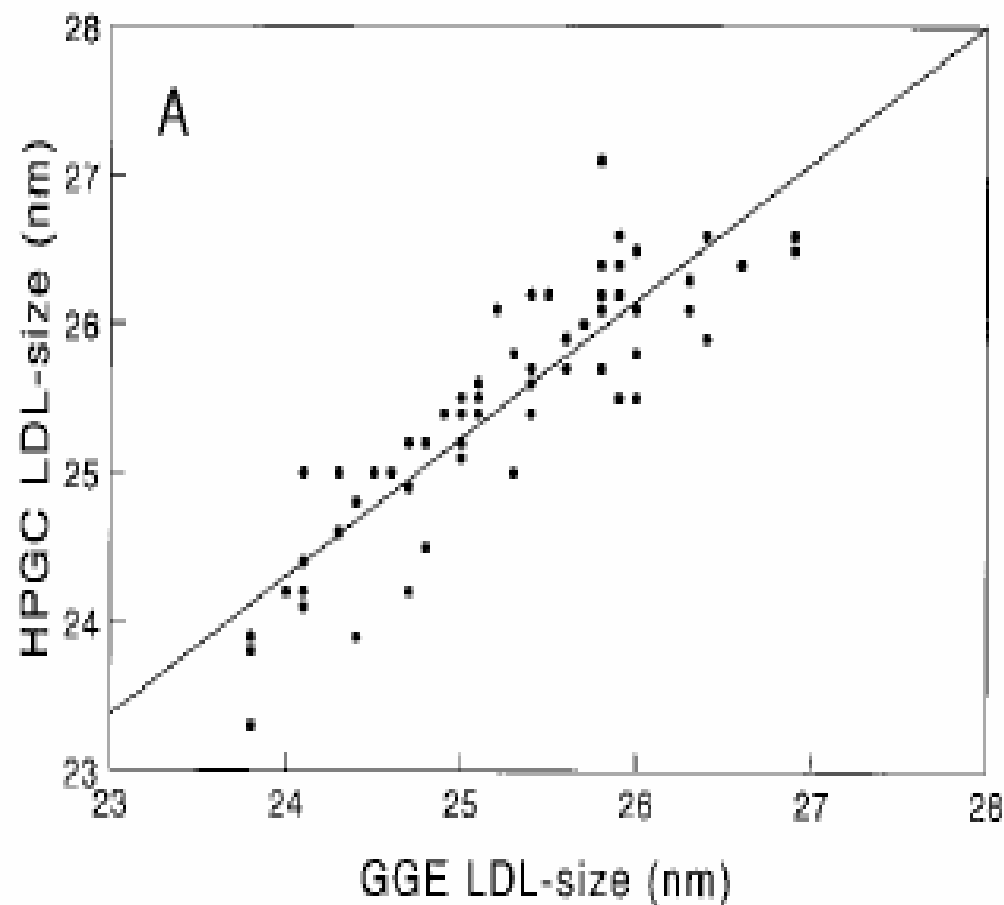
b) 22 – 33 nm

c) 17 – 33 nm

d) 7 – 12 nm



SROVNÁNÍ SEC – PAGE VELIKOST LDL



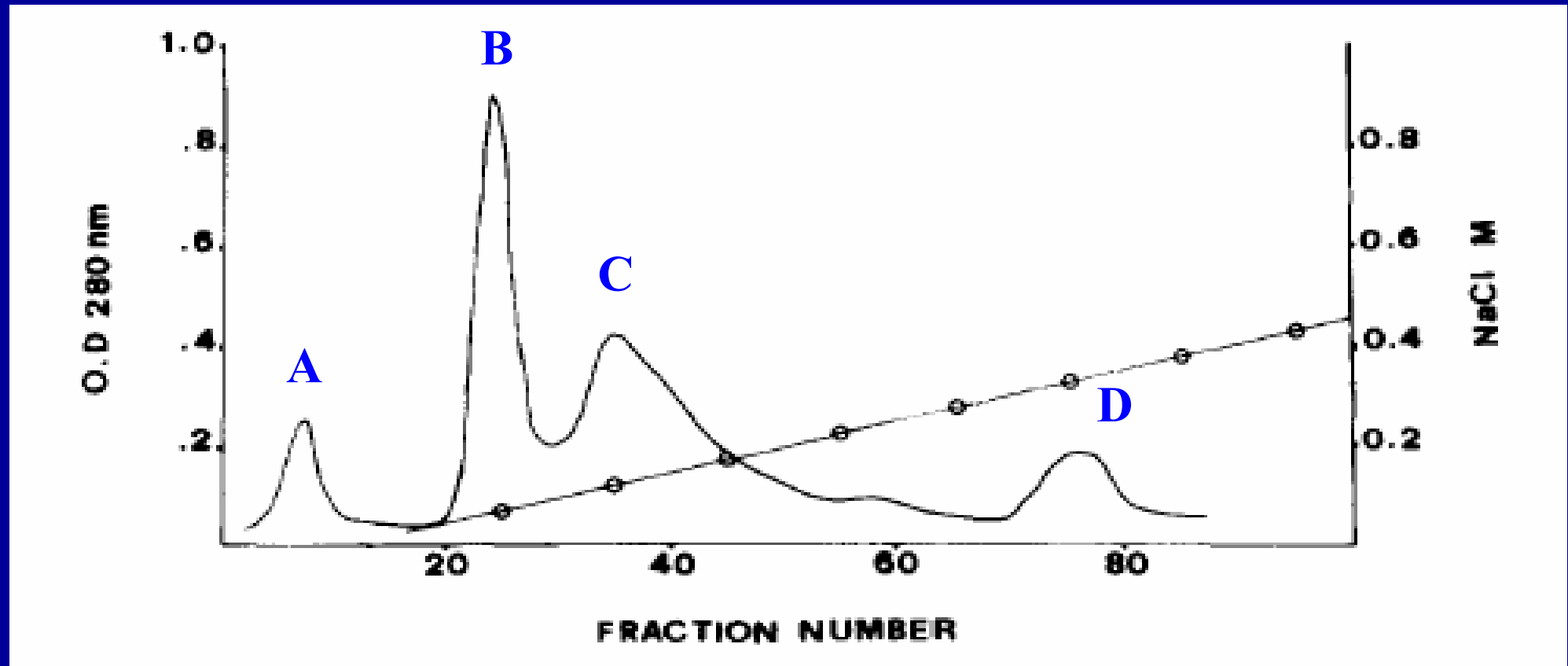
Superose 6, 1x30 cm, 0.1M PBS pH 7.4, 0.5 ml/min, PAGE 2-10%

Scheffer 1997

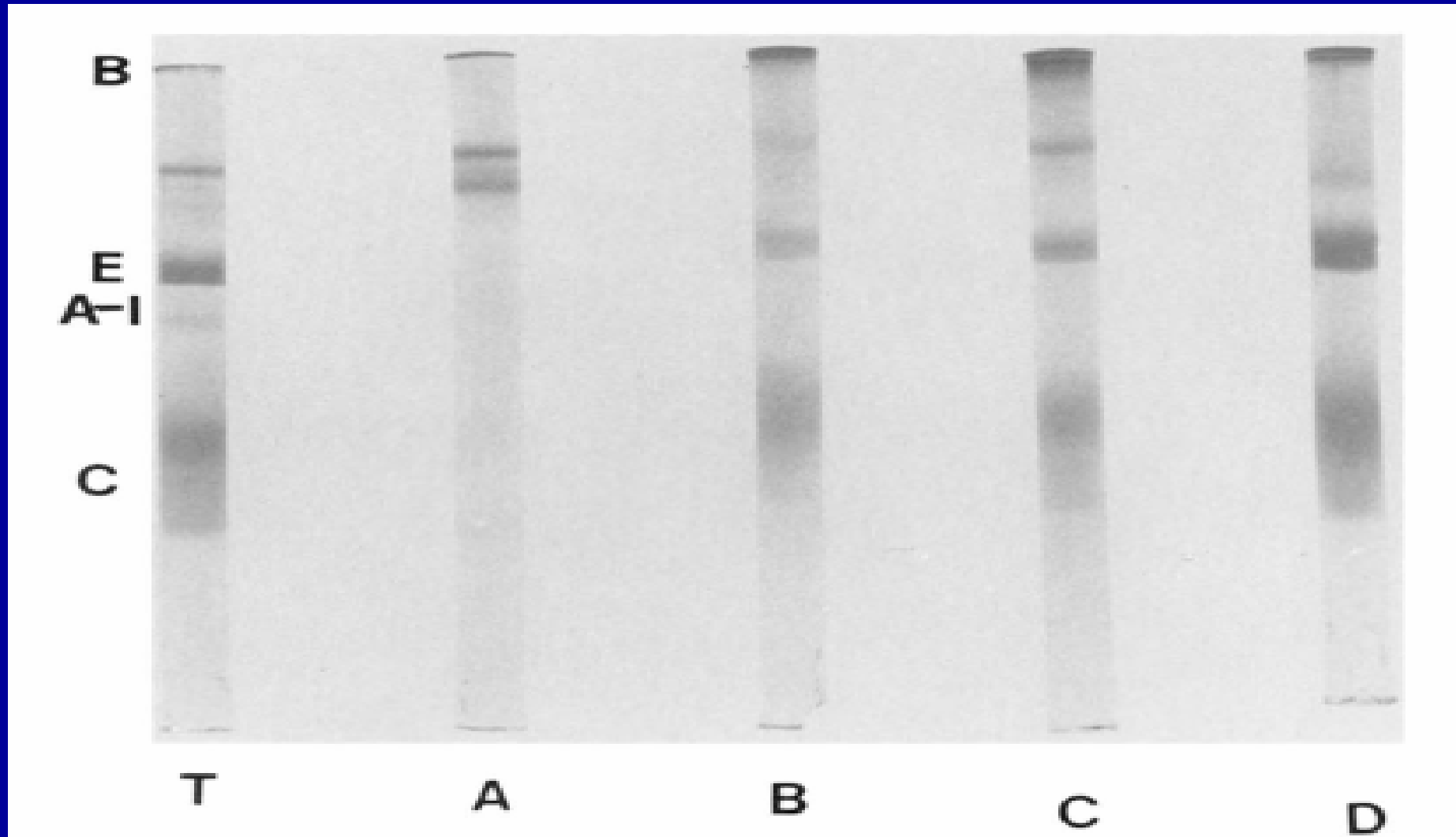
VLDL - AFINITNÍ CHROMATOGRAFIE

SF: heparin-Sepharosa 2.6 x 8 cm

MF: 0.005M Tris, pH 7.4, gradient NaCl 0.05–0.5M



SDS-ELFO FRAKCI VLDL

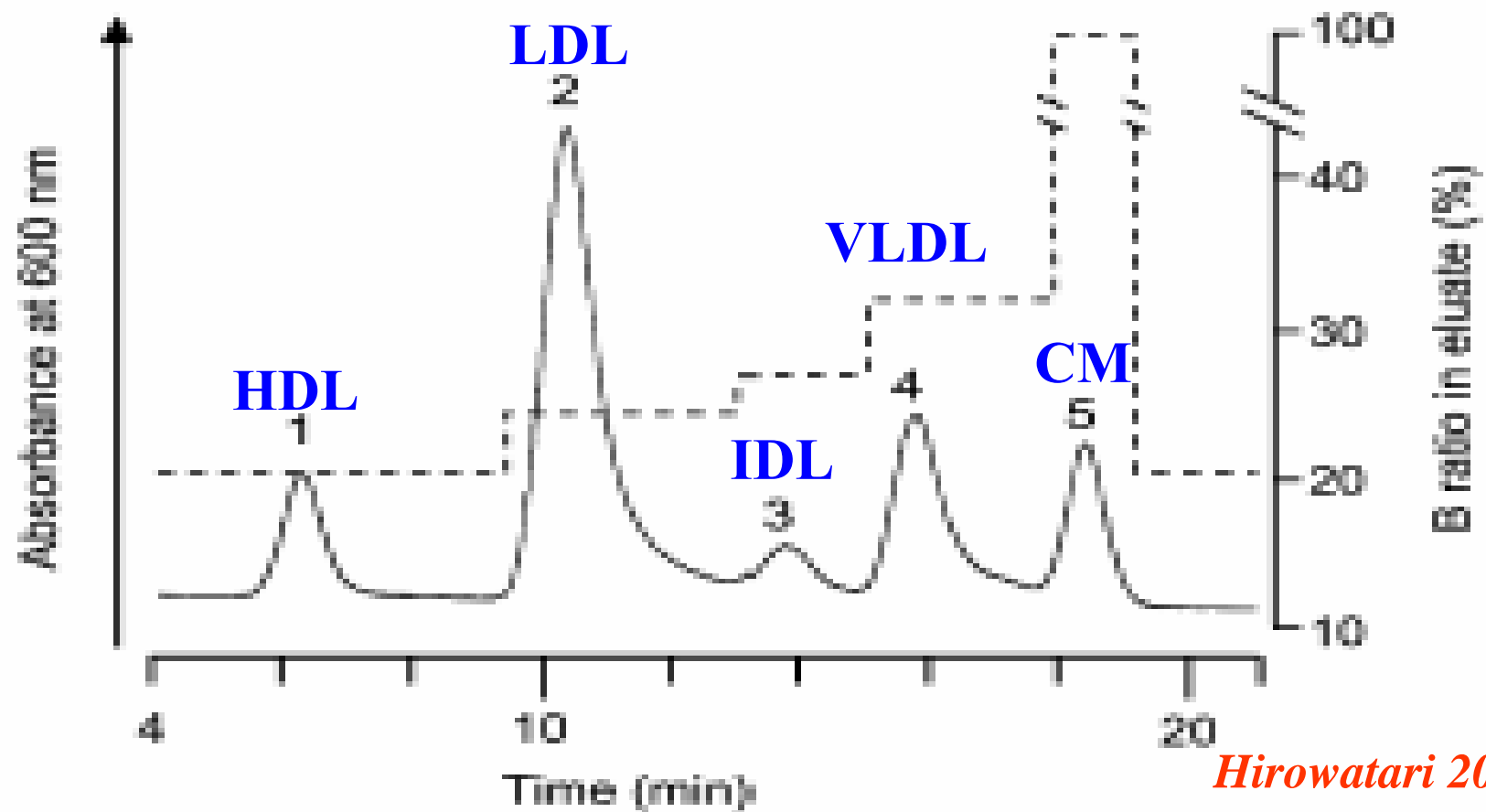


Trezzi 1983

LP - IONTOVÝMĚNNÁ CHROMATOGRRAFIE

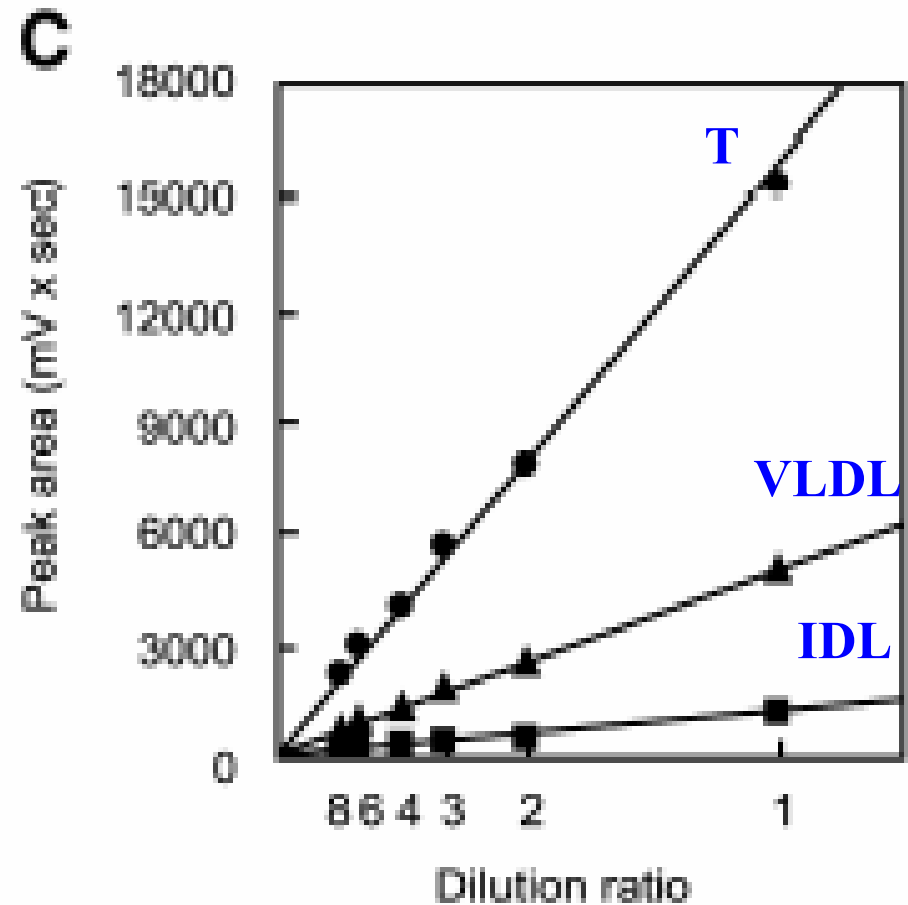
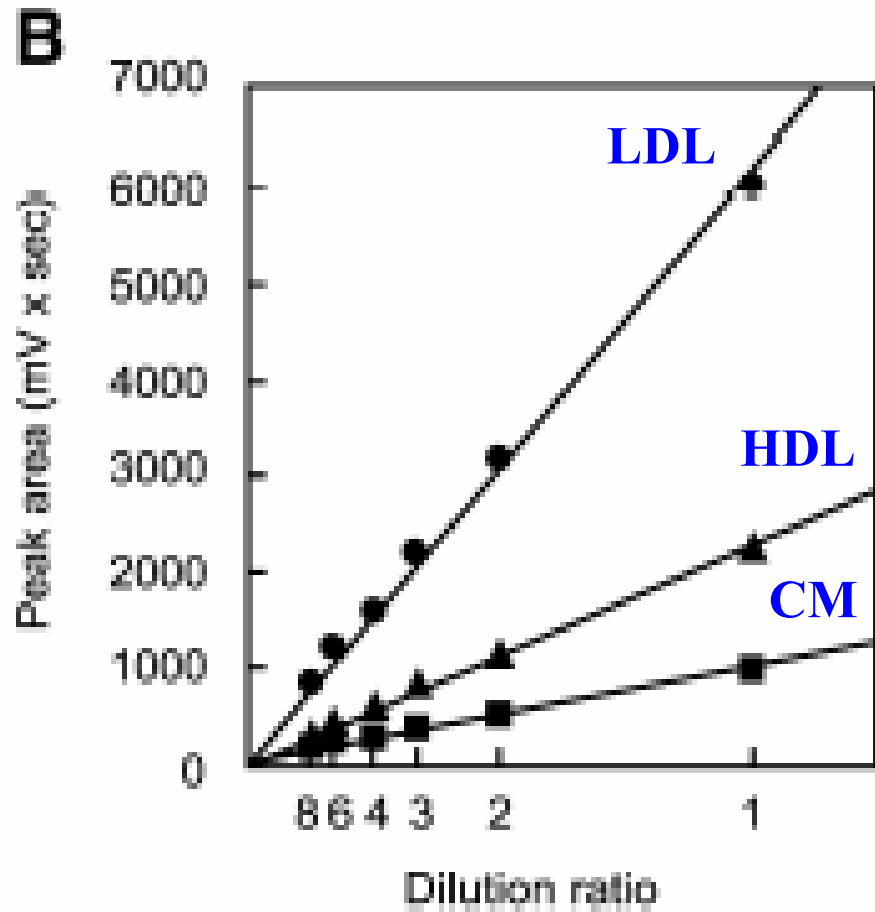
SF: DEAE-polyakrylamid 4.6 x 20 mm

MF: 0.05M Tris-HCl, pH 7.5, gradient NaClO₄ 0.1–0.5M

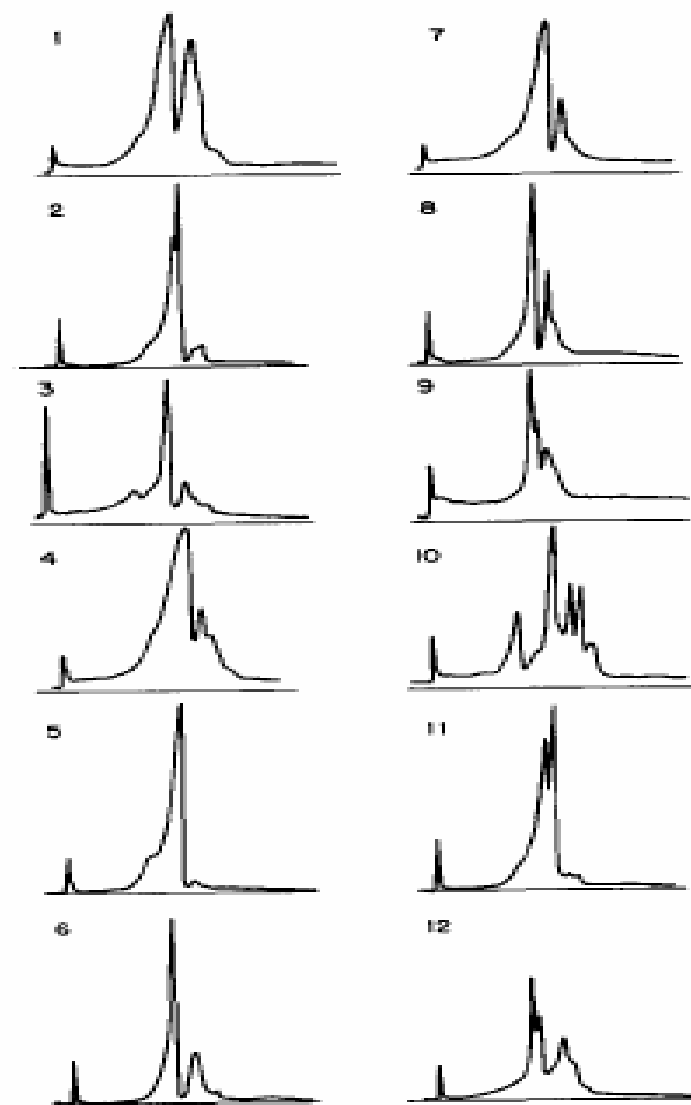
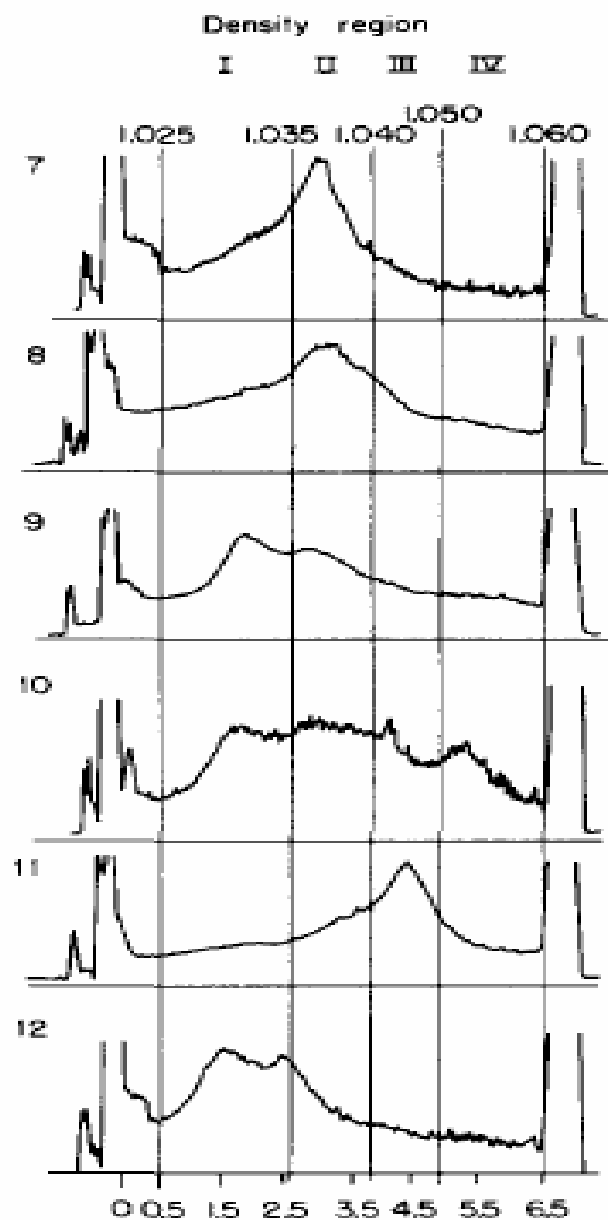
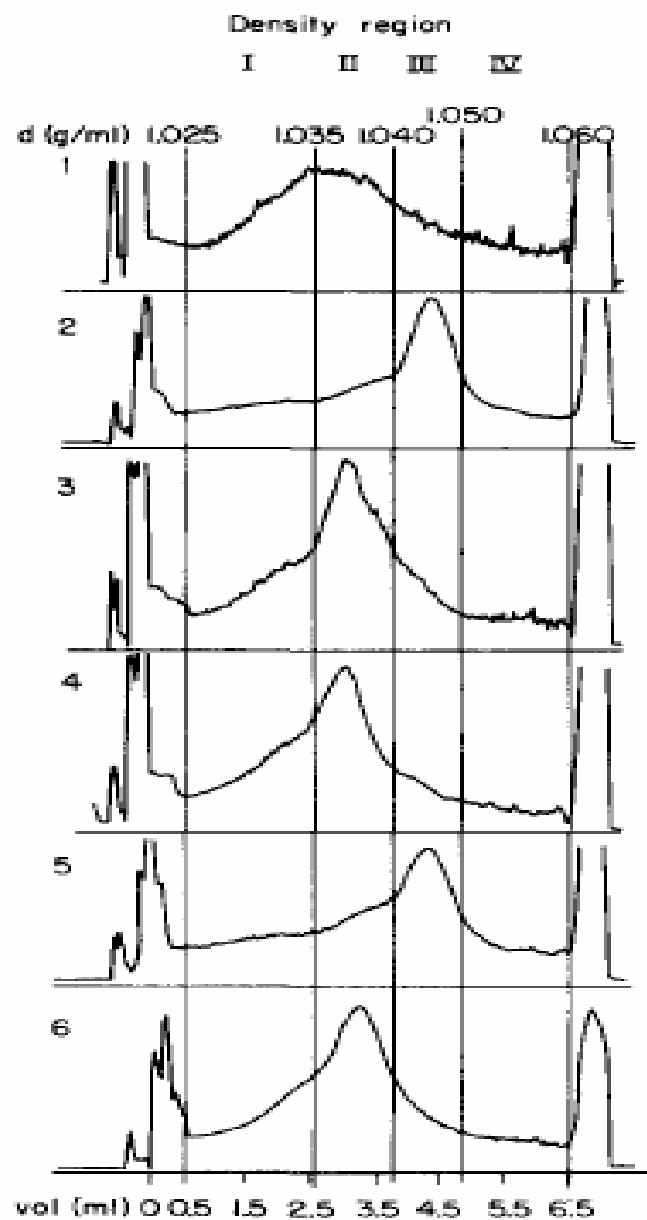


Hirowatari 2003

KALIBRACE - LP-AEC



LDL - Analytická UC - PAGE



Kraus 1982

APOPROTEINY - MW

Apo	MW (Da)	Apo	MW (Da)
AI	28 000	D	30-33 000
AII	17 000	E	35 000
AIV	46 000	F	33 000
B48	264 000	G	72 000
B100	550 000	H	50-90-130 000
CI	5 800	J	2x40 000
CII	9 100	L	39-42 000
CIII	8 750	M	23-26 000

APOPROTEINY - METODY

RP-HPLC: SF – C4, C8, C18

MF – 0.1% TFA, 1% TEA-PO₄, gradient NaCl

SEC: SF – silikagel, methakrylát

MF – 0.1-0.2M pufr pH 7.0-8.2

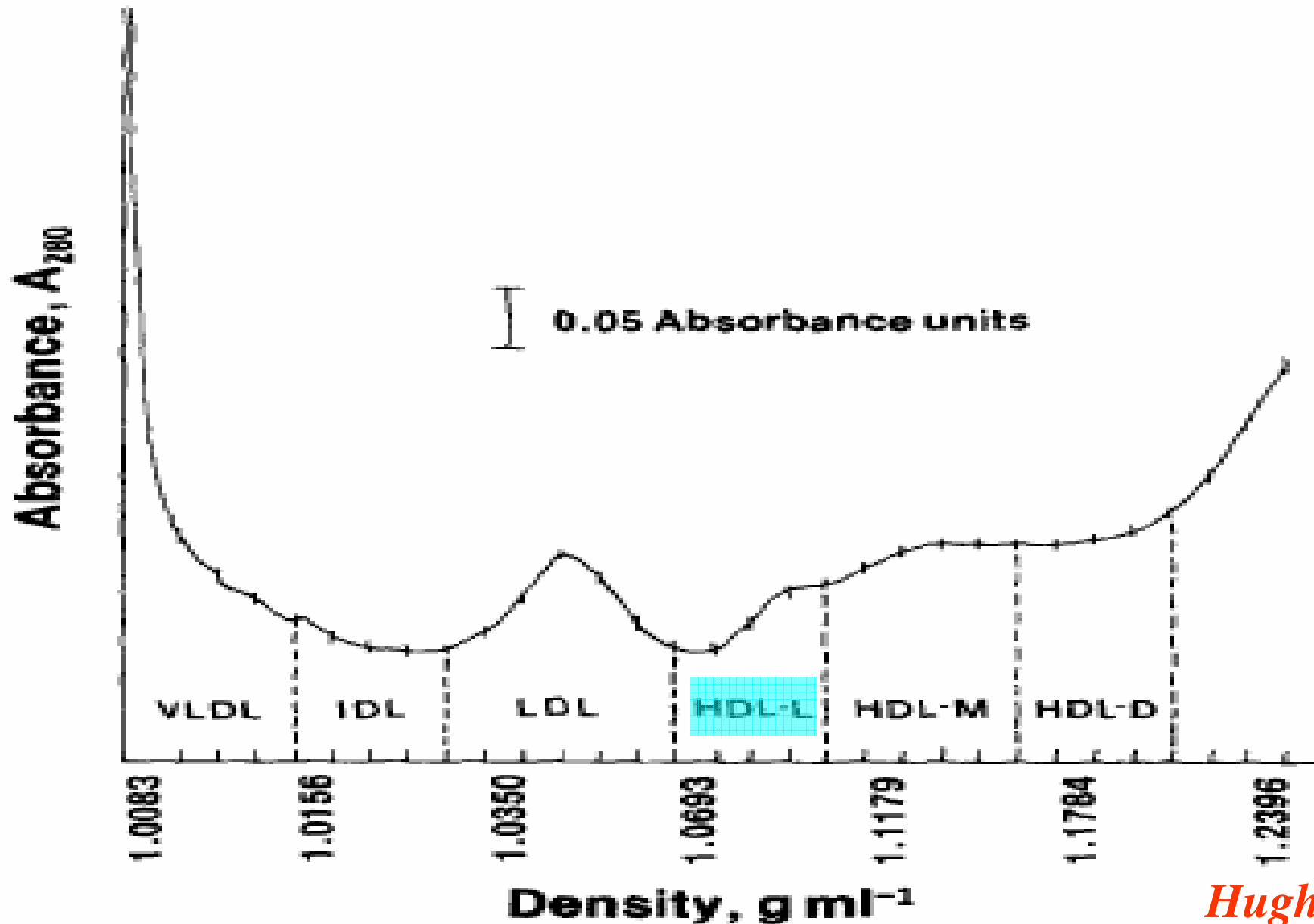
AC, IAC: SF – heparin-Sepharosa

MF – 0.002-0.005M pufr pH 7.4, gradient NaCl

IE-FPLC: SF – DEAE-trisakryl nebo celulosa, anex

MF – 0.01-0.1M tris-urea pH 7.6-8.2, gradient NaCl

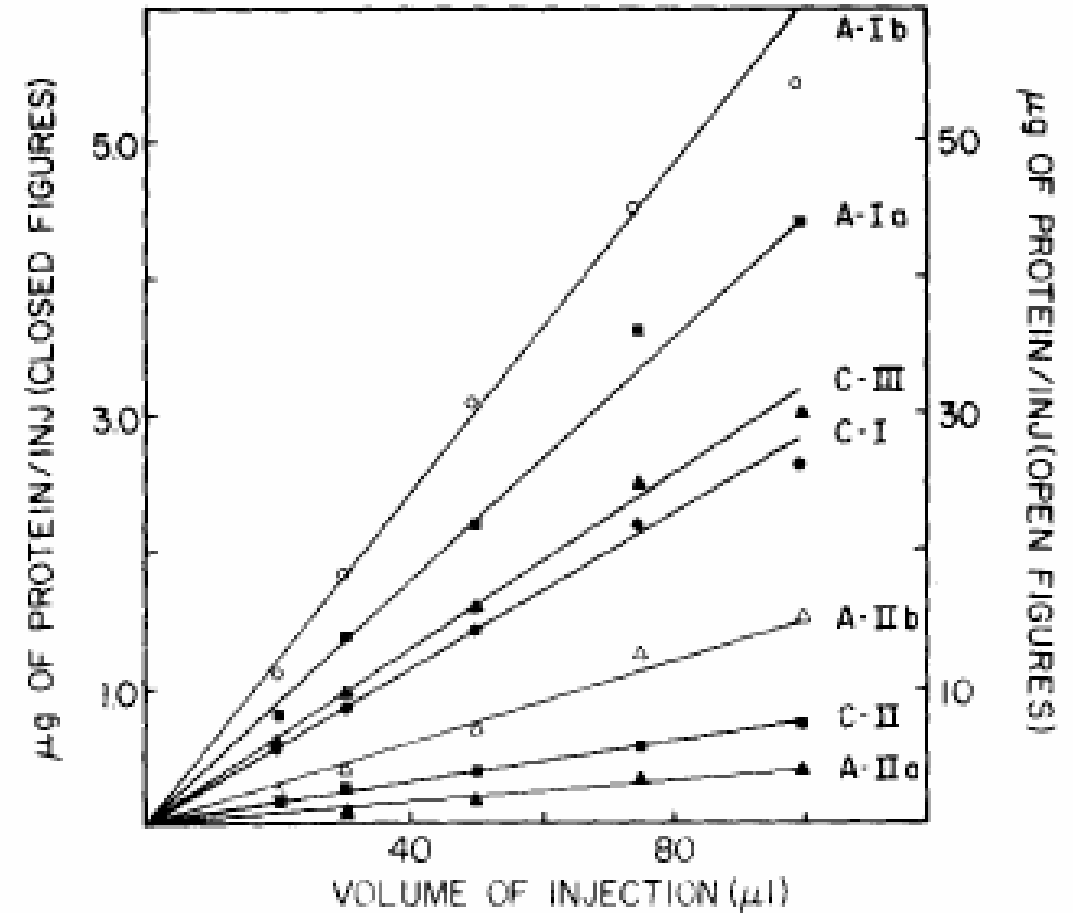
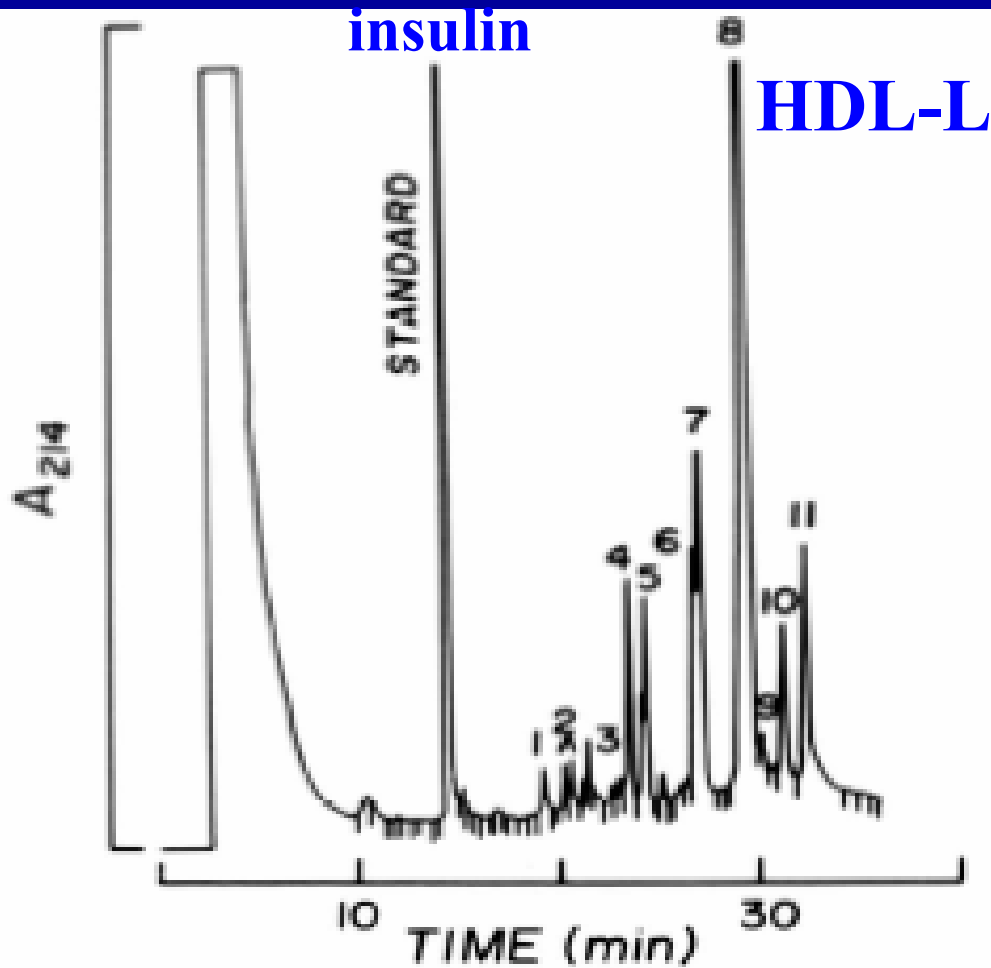
SEPARACE LP – GRADIENT UC



Hughes 1988

APO – RP-HPLC

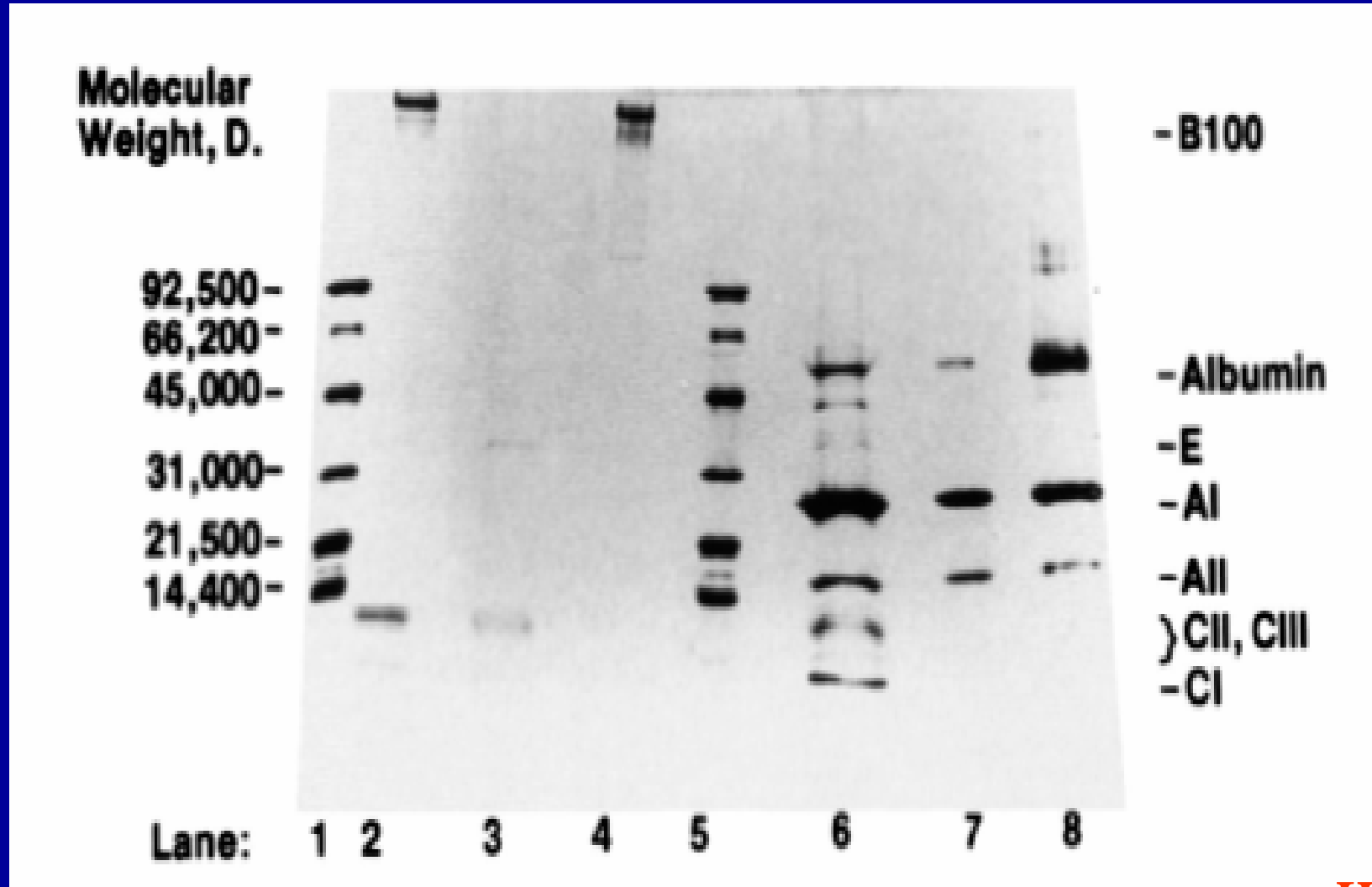
1: C-IIIa, 2: C-IIIb, 3: C-IIa, 4: C-IIIc, 5: C-I, 6: C-IIb,
7: A-Ia, 8: A-Ib, 9: A-IIc, 10: A-IIa, 11: A-IIb



C18 4.6x250 mm, 0.1% TFA, CH₃CN 25-58%, 1.2 ml/min, 50°C *Hughes 1988*

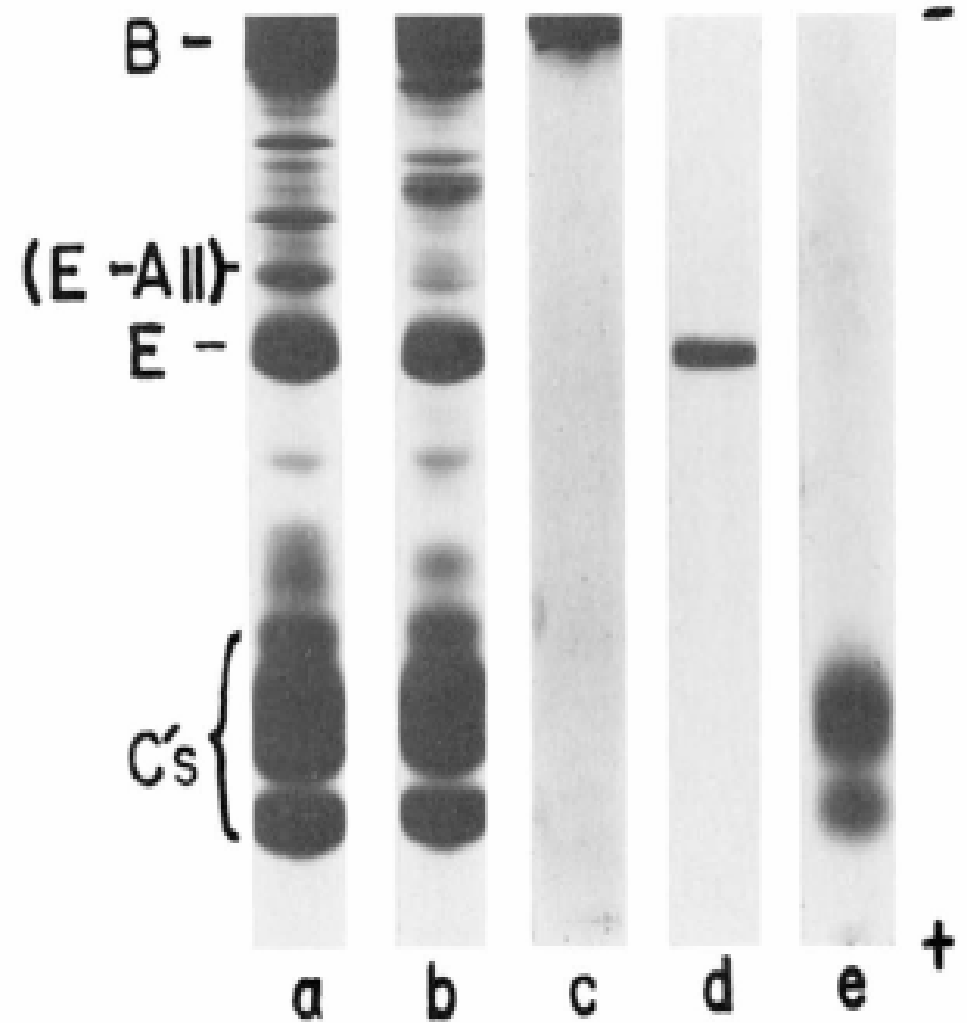
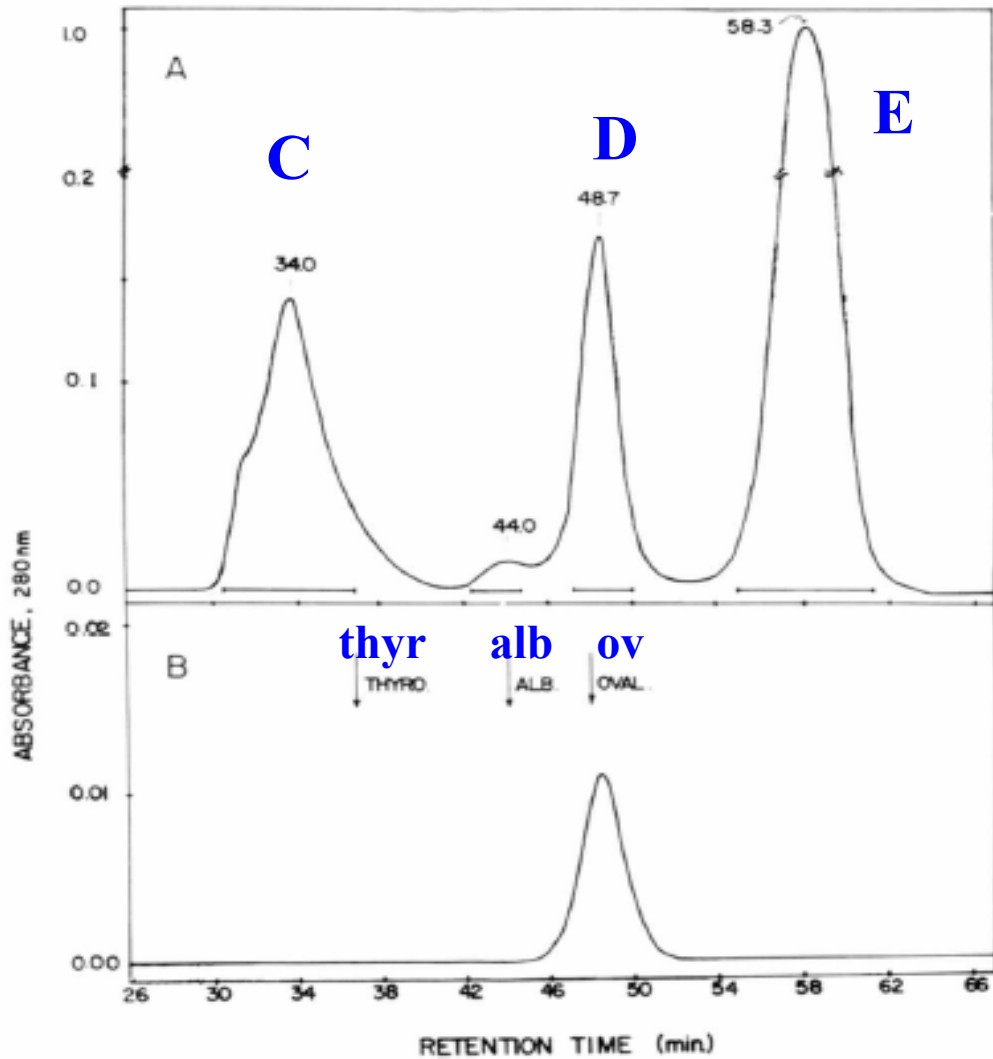
LP – GRADIENT SDS-PAGE

1: STD, 2: VLDL, 3: IDL, 4: LDL, 5: STD, 6: HDL-L, 7: HDL-M, 8: HDL-D



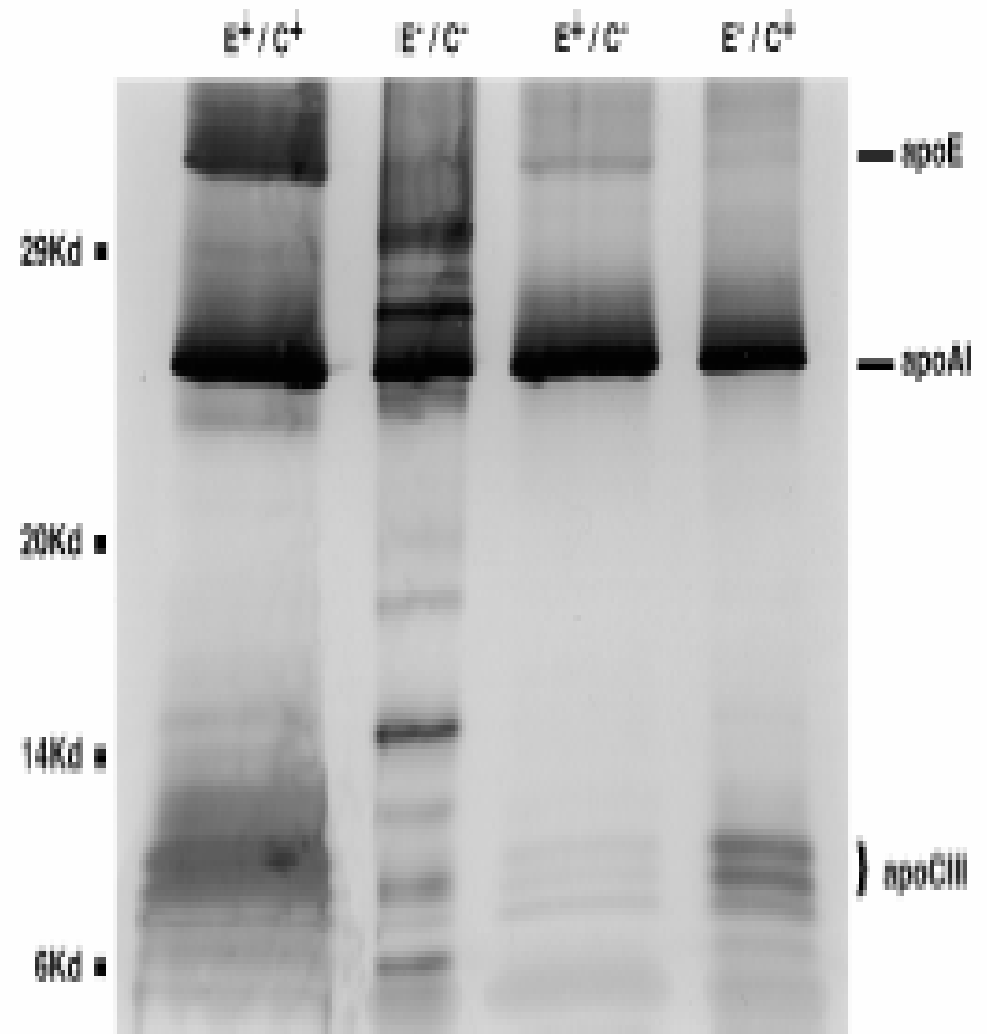
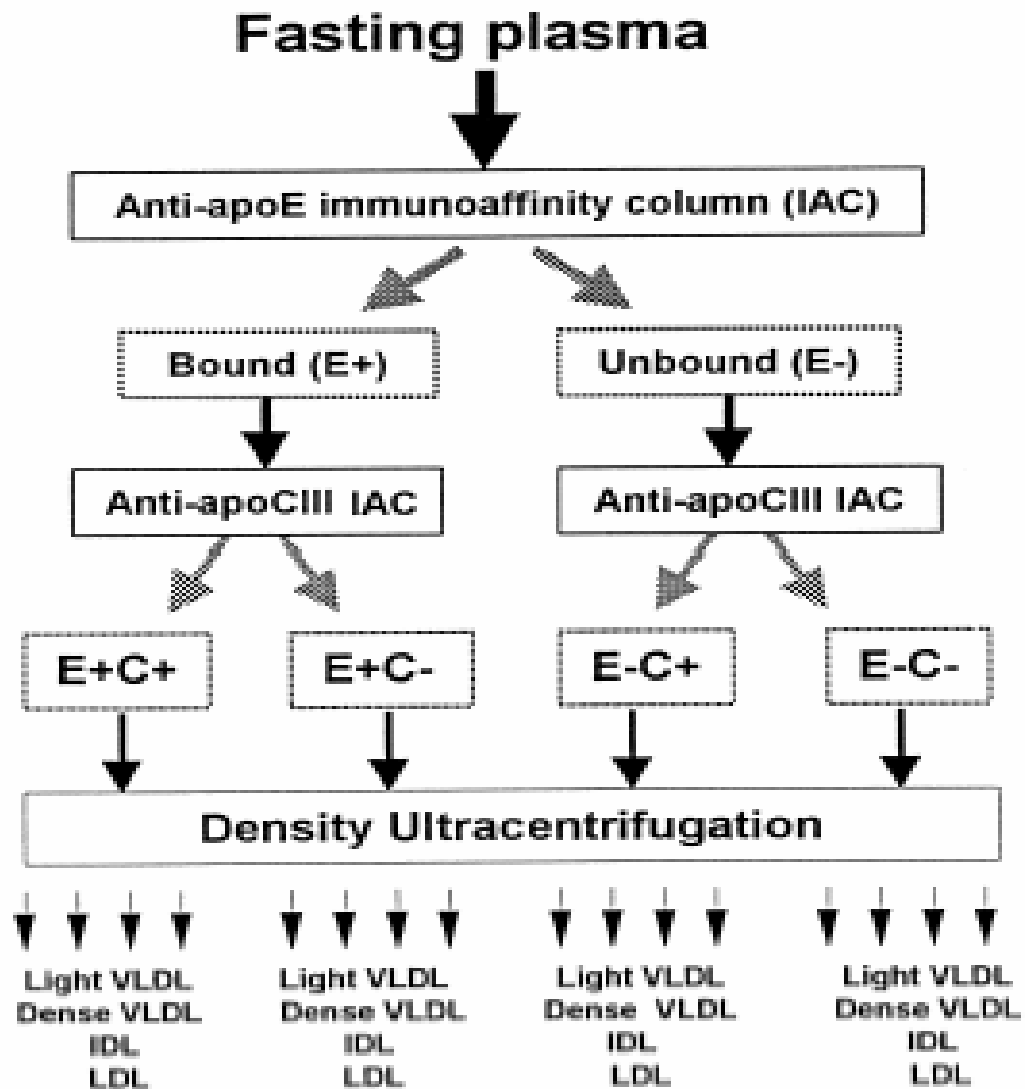
Hughes 1988

VLDL ApoE - SEC

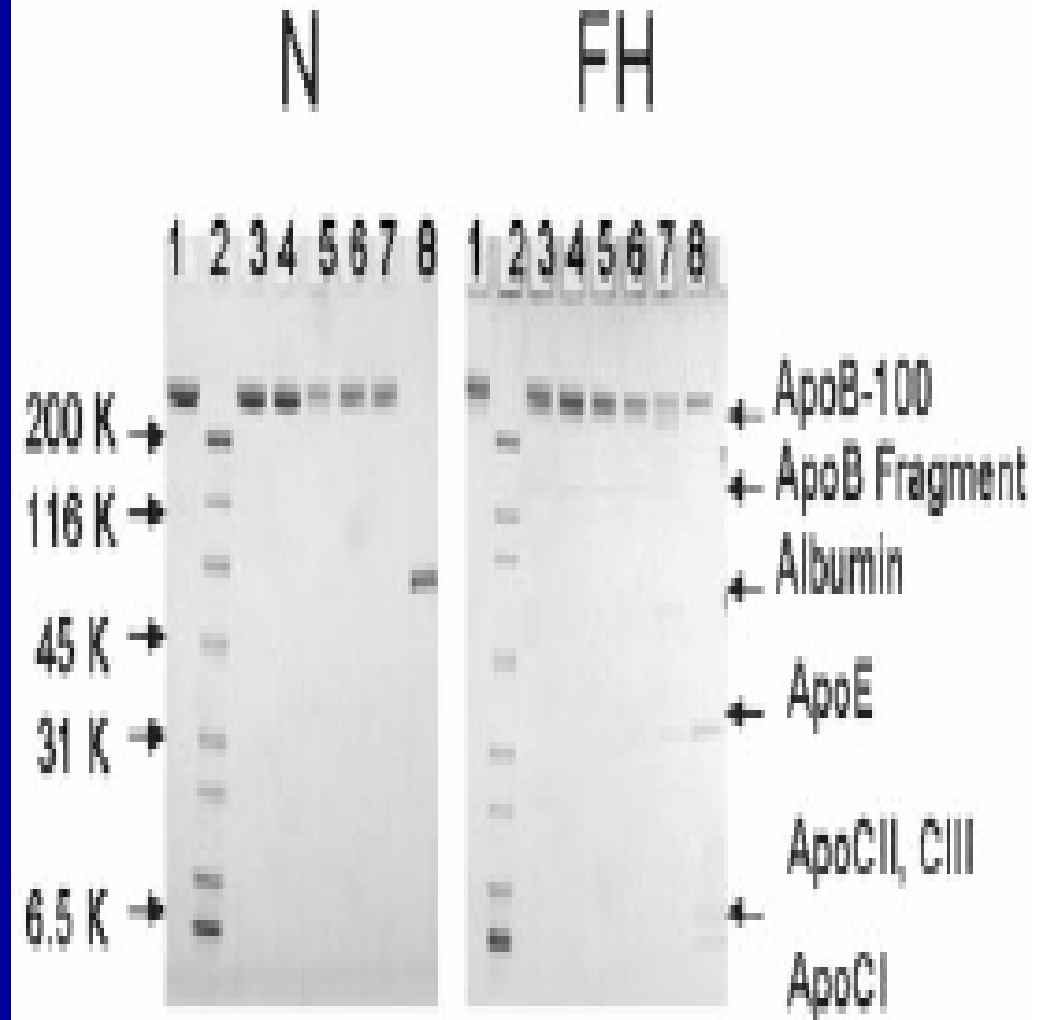
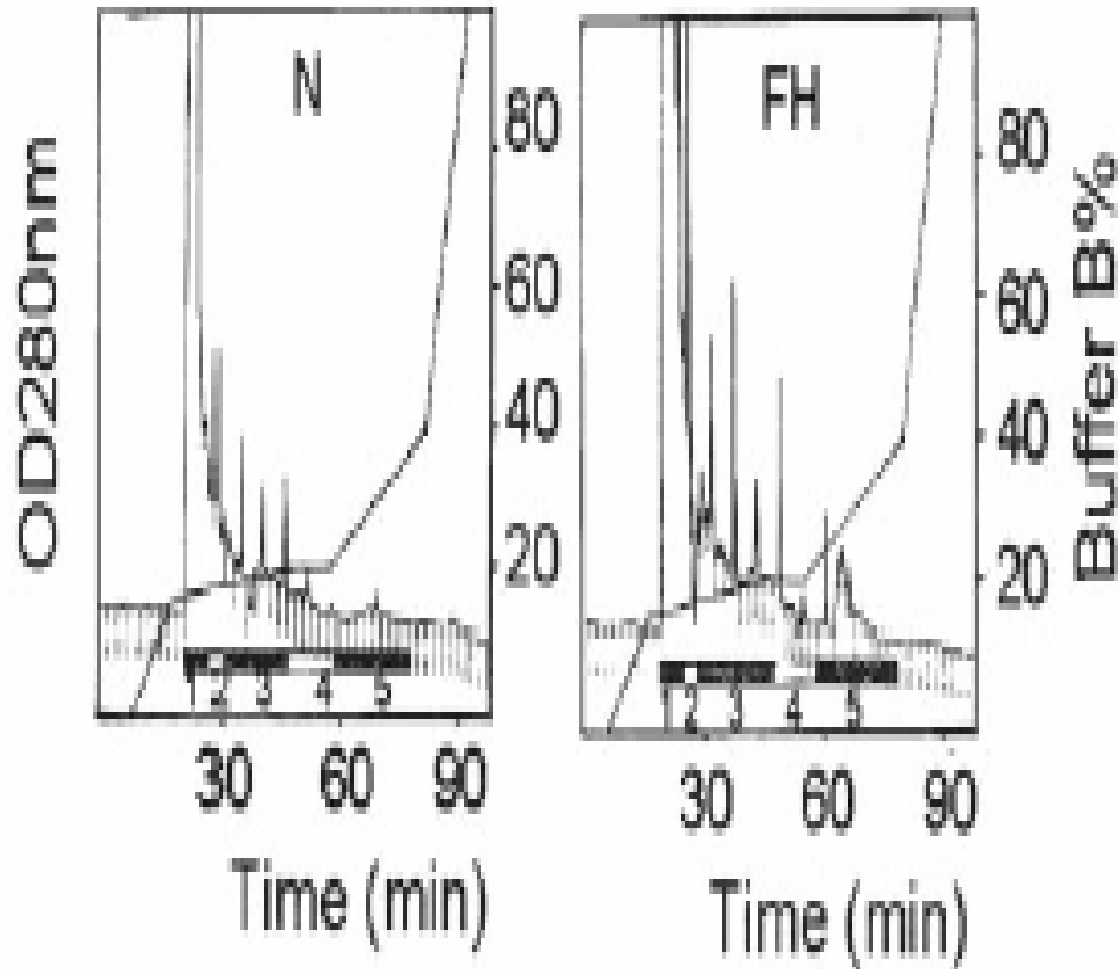


TSK50+TSK400+TSK3000, \bar{a} 7.5x300 mm, 0.01 Tris pH 7, 0.5 ml/min, SDS-PAGE 0.1-10%
Pfaffinger 1983

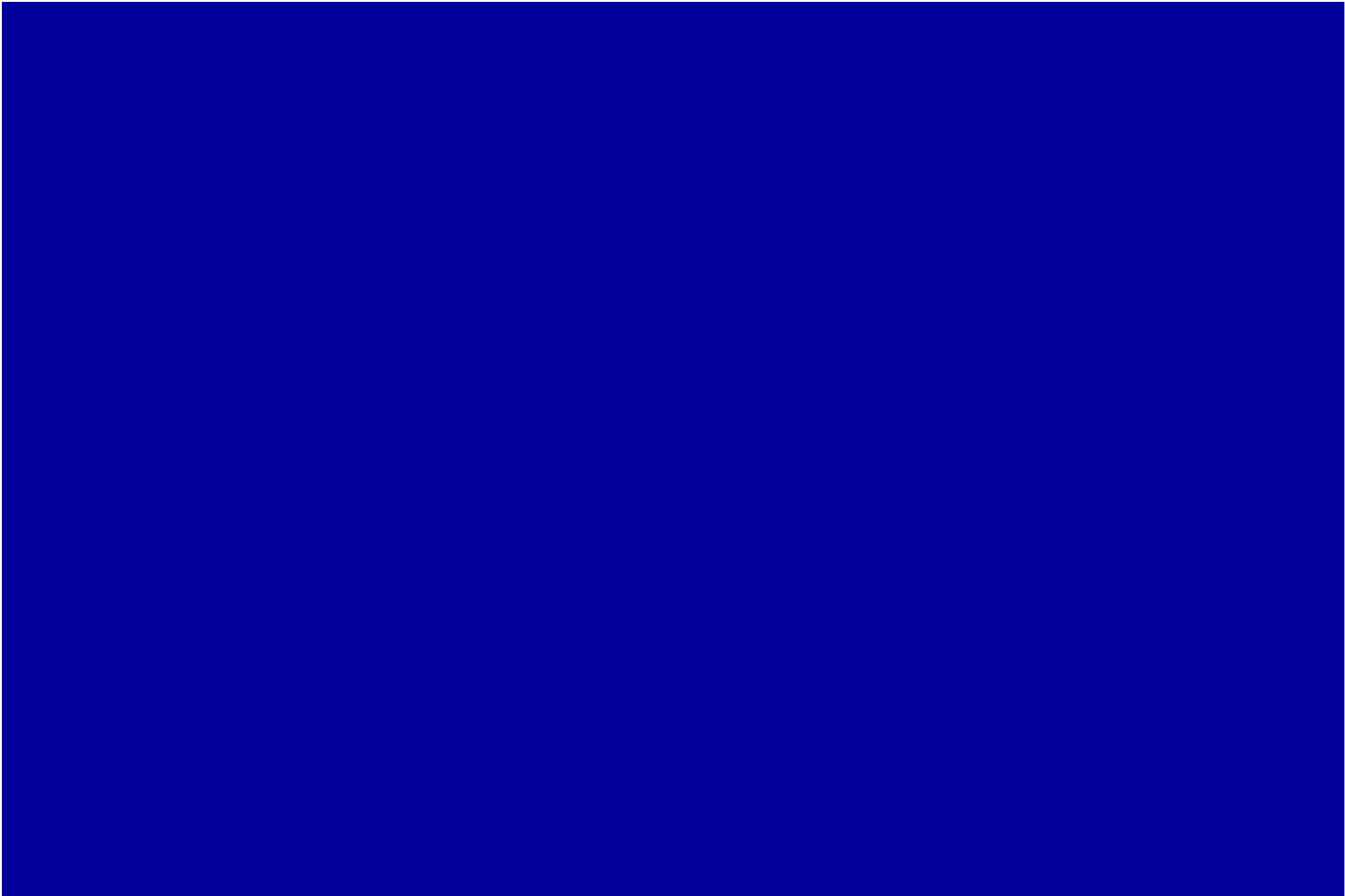
ApoLP - IAC



LDL – iontovýměnná FPLC



UnoQ12, 0.02M Tris-HCl, pH 8, 2 ml/min, gradient 1M NaCl, 4°C *Yang 2003*



JEDNODUCHÉ LIPIDY

NEPOLÁRNÍ (NEUTRÁLNÍ)

WE, SE, FAME, GEDE, TG, FFA, AL, FS, DG, MG, (PL)

TLC (silikagel): heptan – diethylether – kyselina octová

POLÁRNÍ

(NL), CM, CL, PE, PI, LPE, PS, PC, SM, LPC

TLC (silikagel): chloroform – methanol – voda

JEDNODUCHÉ LIPIDY

ANALYTICKÉ METODY

PREPARACE – EXTRAKCE CELKOVÉHO LIPIDU

STANOVENÍ LIPIDOVÝCH TŘÍD – HPLC, TLC (prep.)

STANOVENÍ MOLEKULÁRNÍCH DRUHŮ – RP-HPLC, GLC

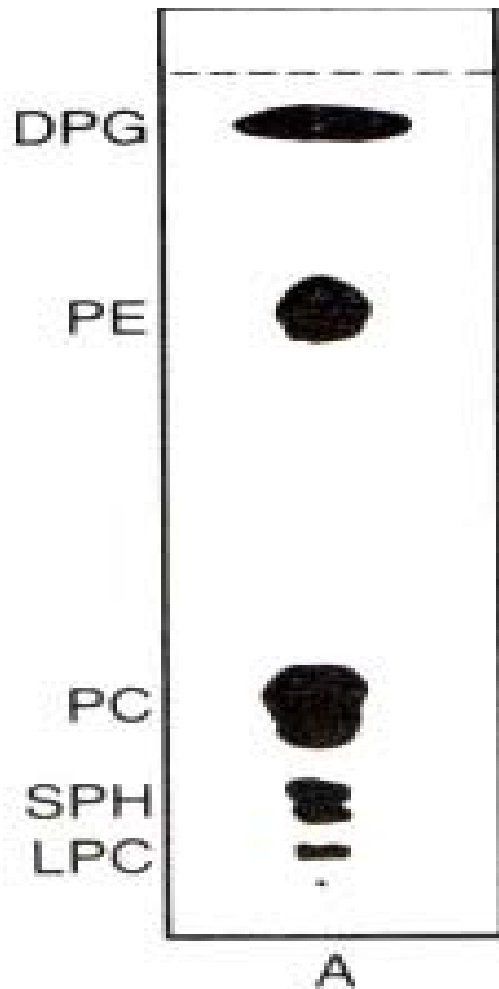
STANOVENÍ MASTNÝCH KYSELIN – GLC, HPLC

**STANOVENÍ NEZMÝDELNITELNÉHO PODÍLU - GLC,
HPLC**

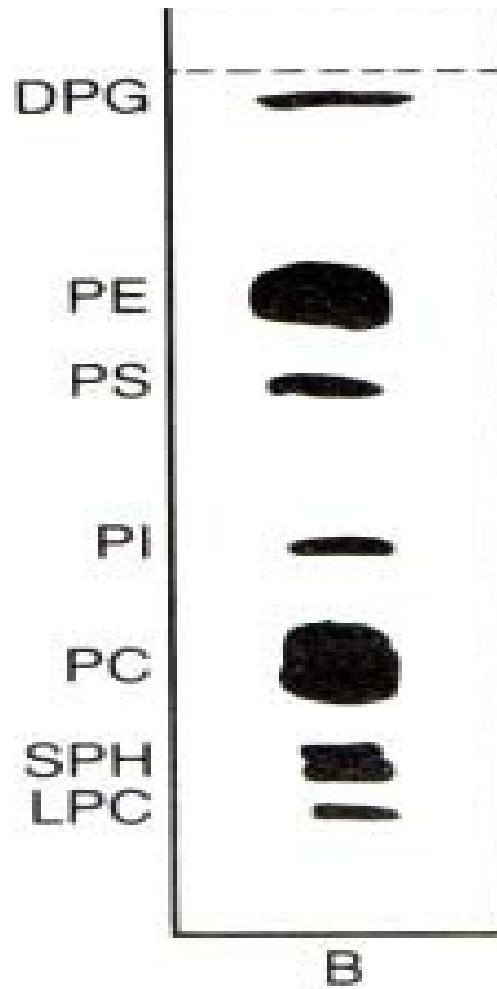
ALTERNATIVNÍ METODY

PREPARATIVNÍ TLC

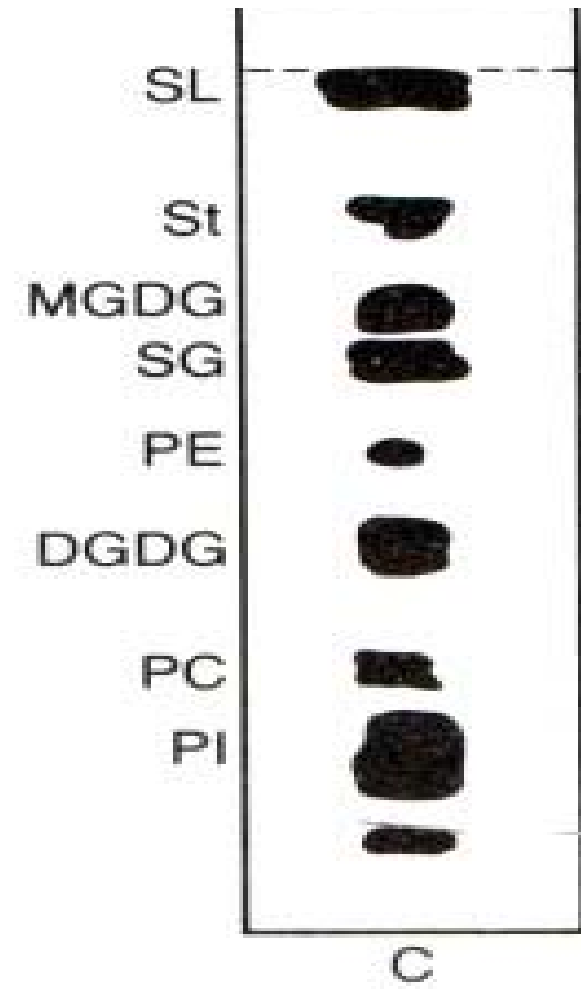
$\text{CHCl}_3\text{-MeOH-H}_2\text{O}$
25:10:1



$\text{CHCl}_3\text{-MeOH-HAc-H}_2\text{O}$
25:15:4:2



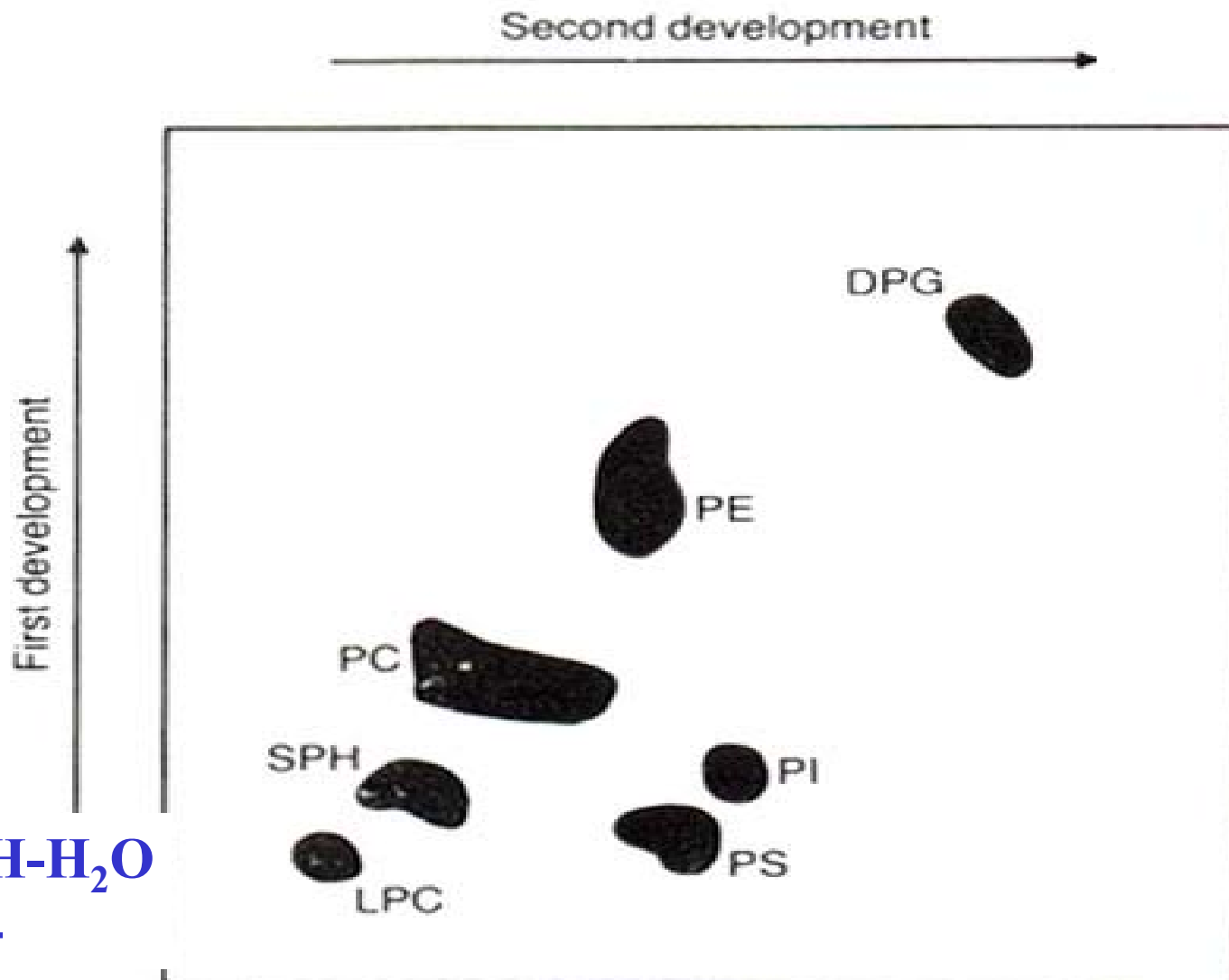
$\text{KET-HAc-H}_2\text{O}$
40:25:3,7



Skipski 1964

LIPIDOVÉ TŘÍDY 2D-TLC

n-BuOH-HAc-H₂O
3:1:1

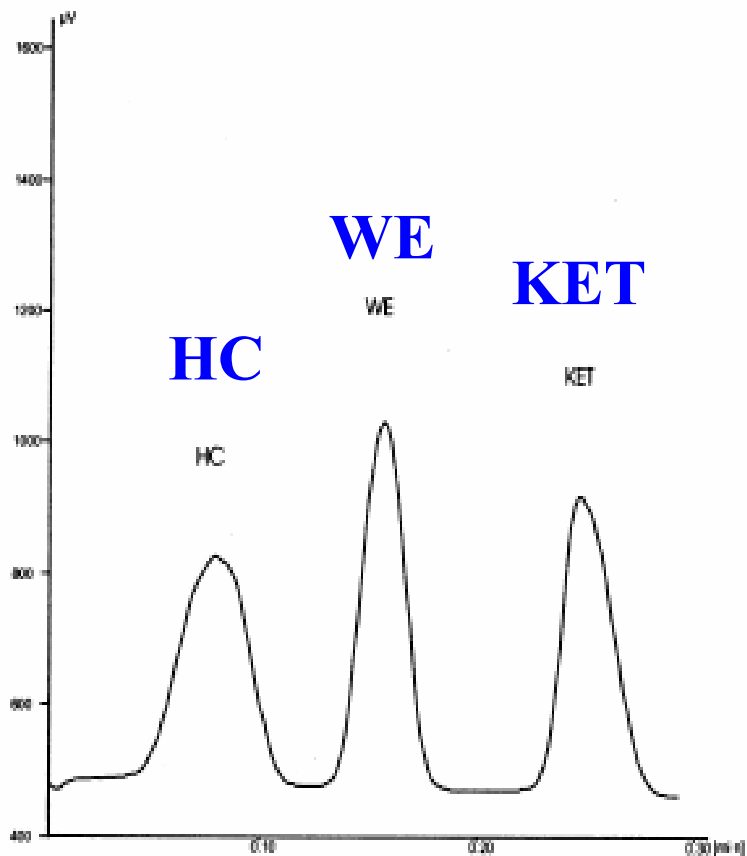


CHCl₃-MeOH-H₂O
65:25:4

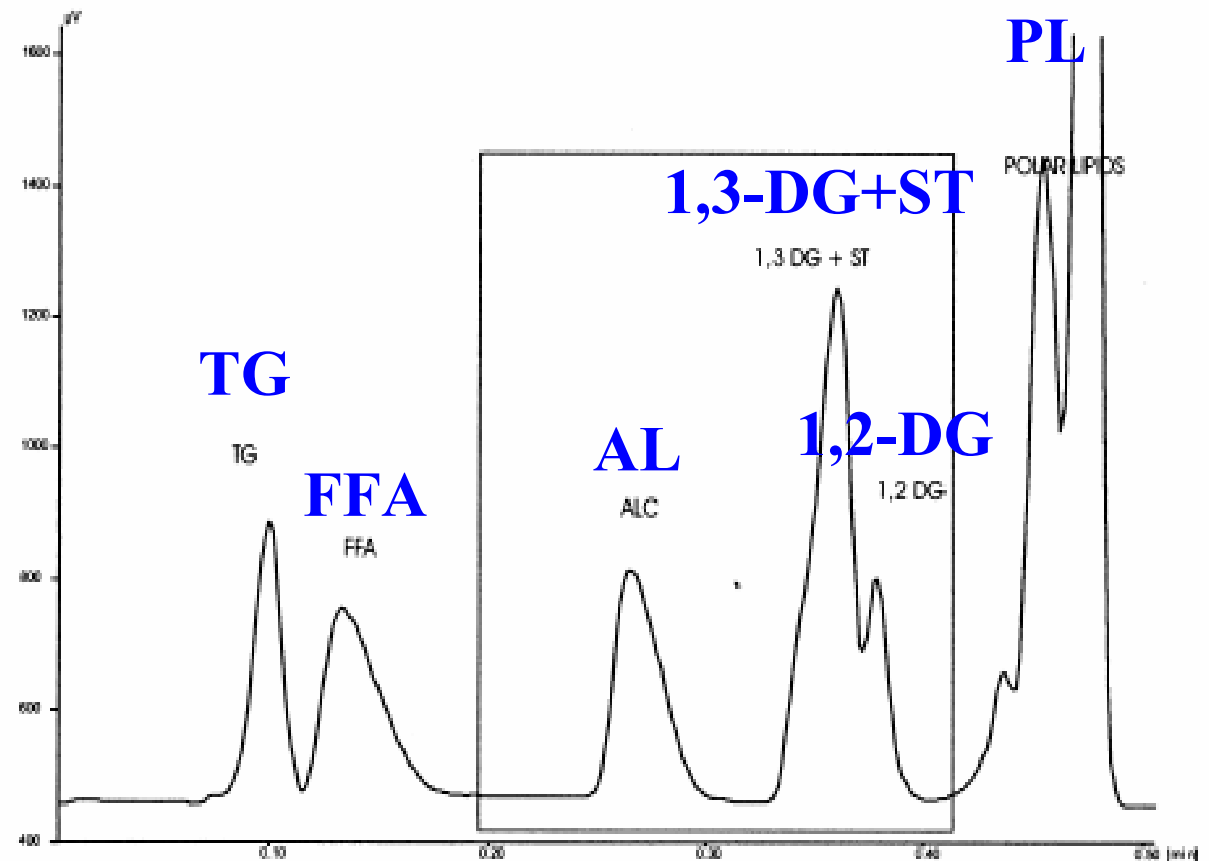
Rouser 1967

LIPIDOVÉ TŘÍDY – TLC-FID

Fytoplankton *Dunaliella viviridis*



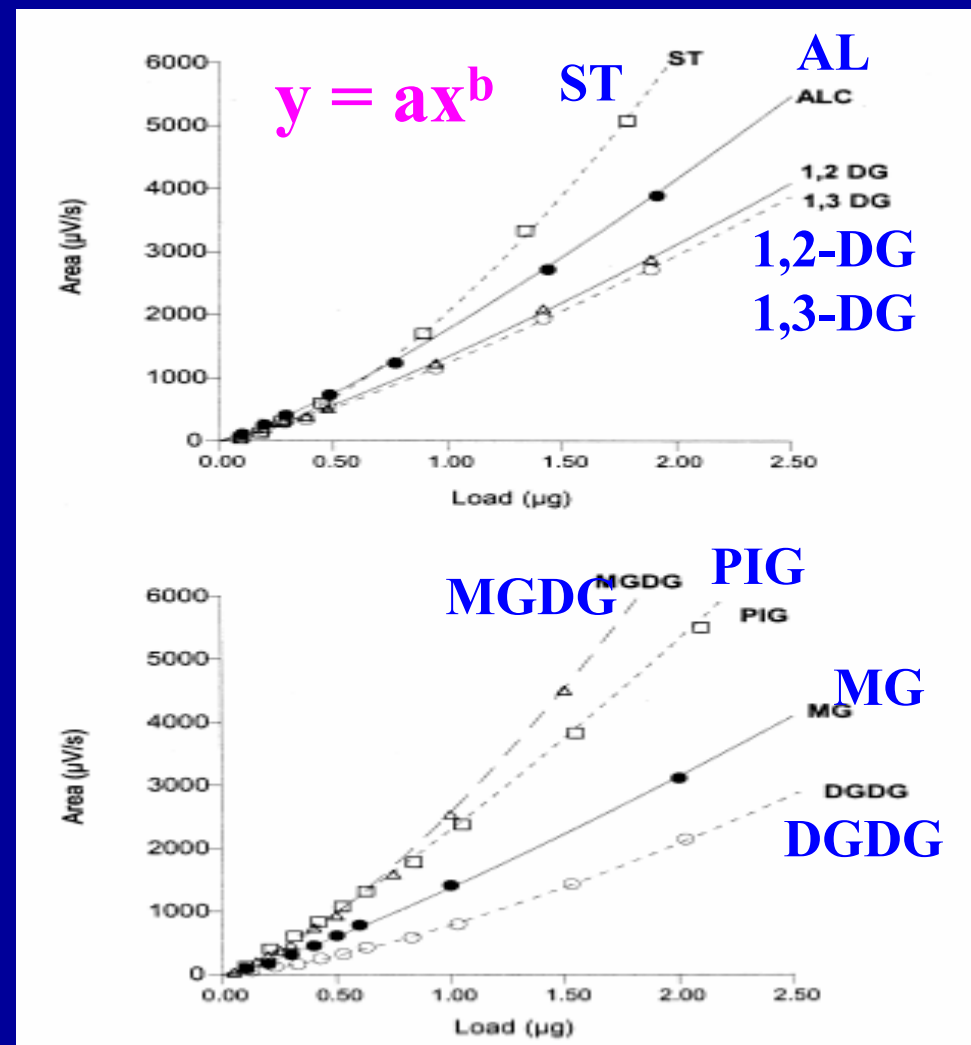
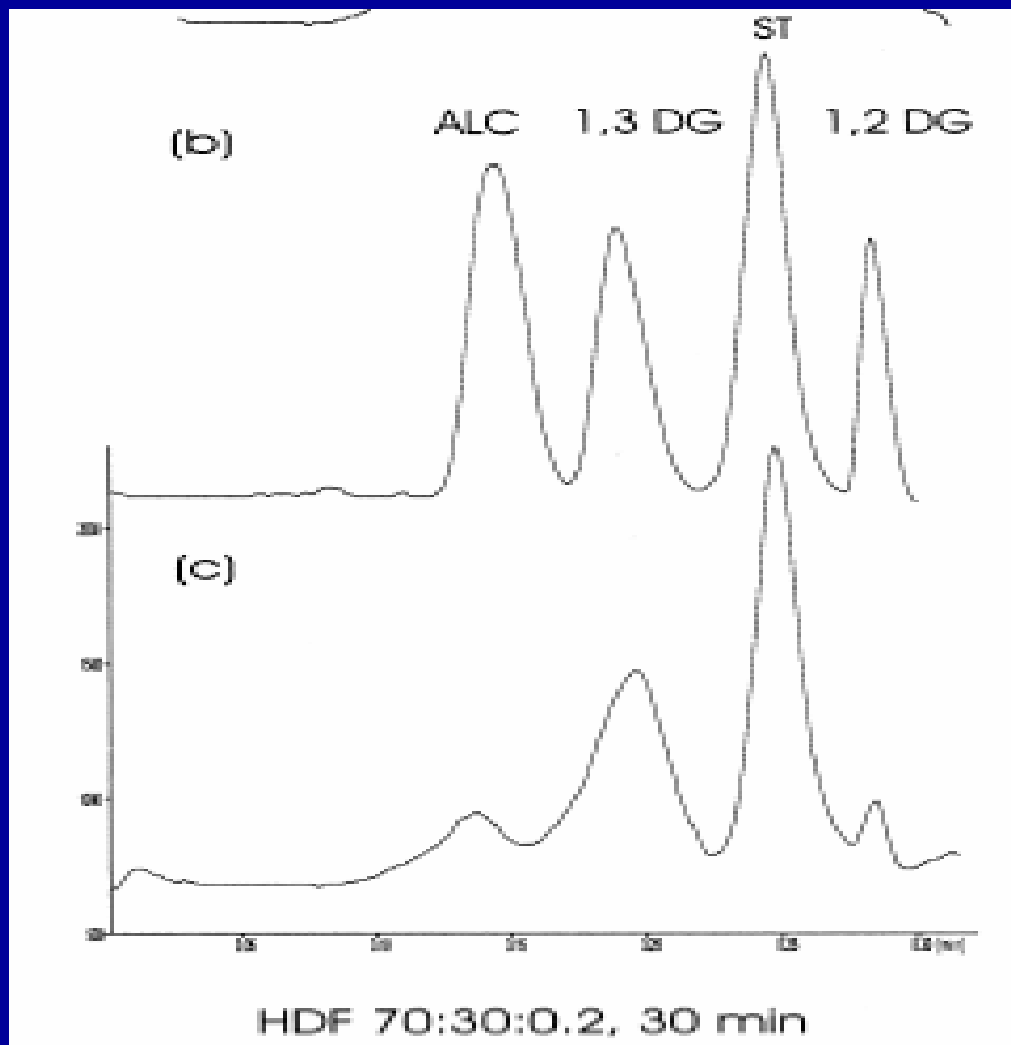
HDF 97:3:0.2, 30 min



HDF 80:20:0.2, 30 min

LIPIDOVÉ TŘÍDY – TLC-FID

Fytoplankton *Dunaliella viviridis*

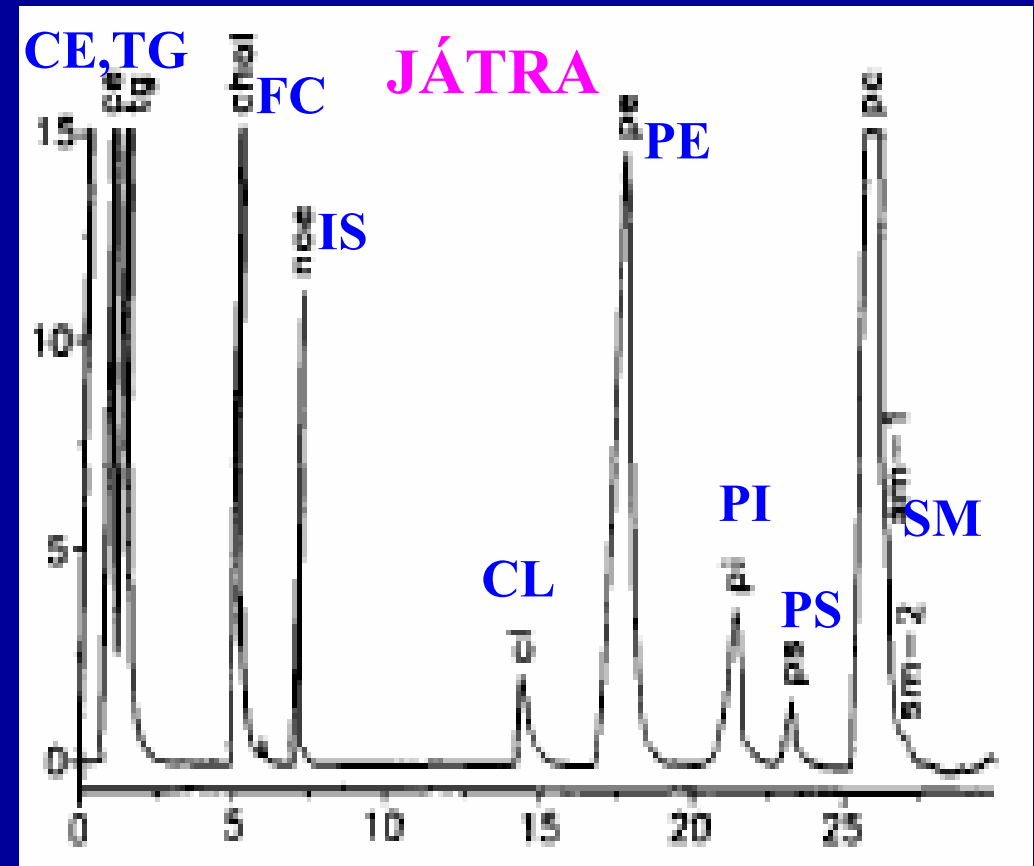
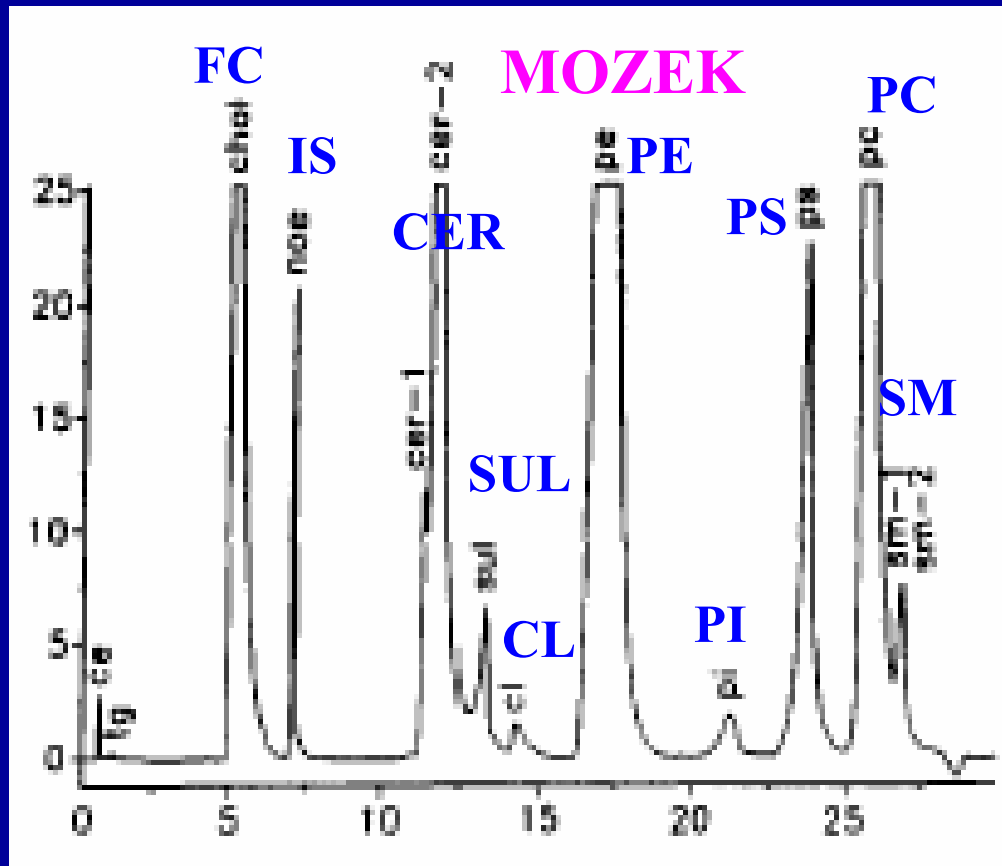


KALIBRAČNÍ ZÁVISLOST

rovnice	rozpětí r
$y = ae^{bx}$	0,86 – 0,89
$y = ax^b$	0,98 – 1,00
$y = a + b \cdot \ln x$	0,72 – 0,91
$y = a + bx$	0,98 – 1,00
$y = a + bx + bx^2$	0,99 – 1,00
$y = a + b/x$	0,58 – 0,73
$y = a + bx^{1/2}$	0,97 – 0,99
$y = a + b \cdot \log x$	0,89 – 0,95

Peuchant 1984, Parrish 1985

LIPIDOVÉ TŘÍDY – HPLC-ELSD

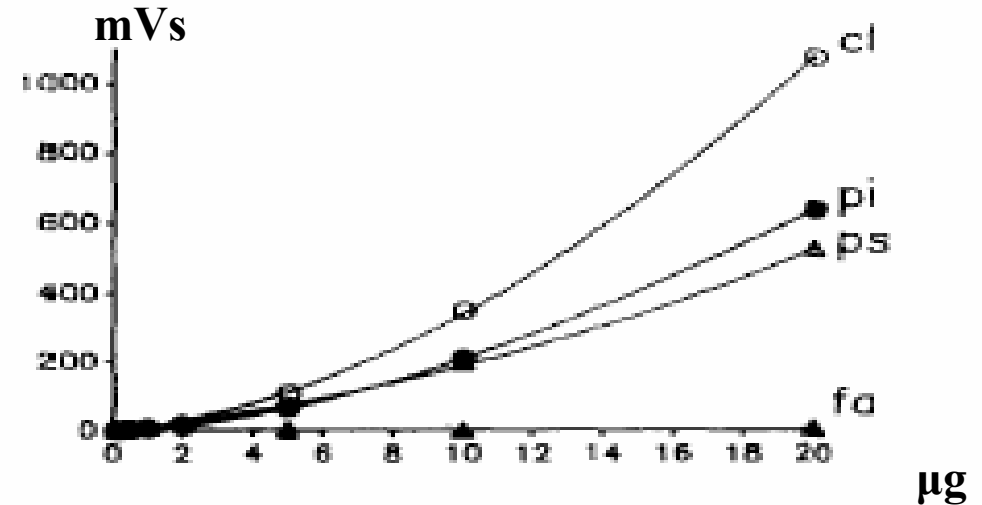
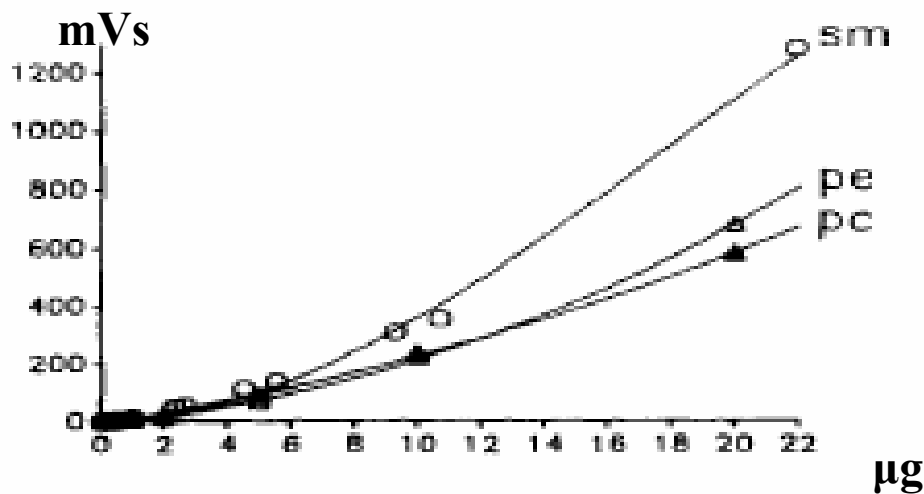
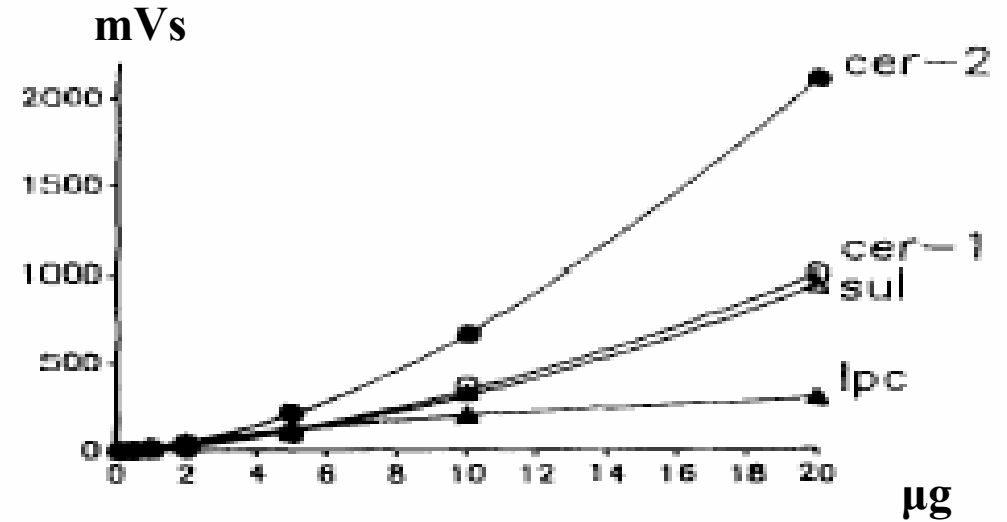
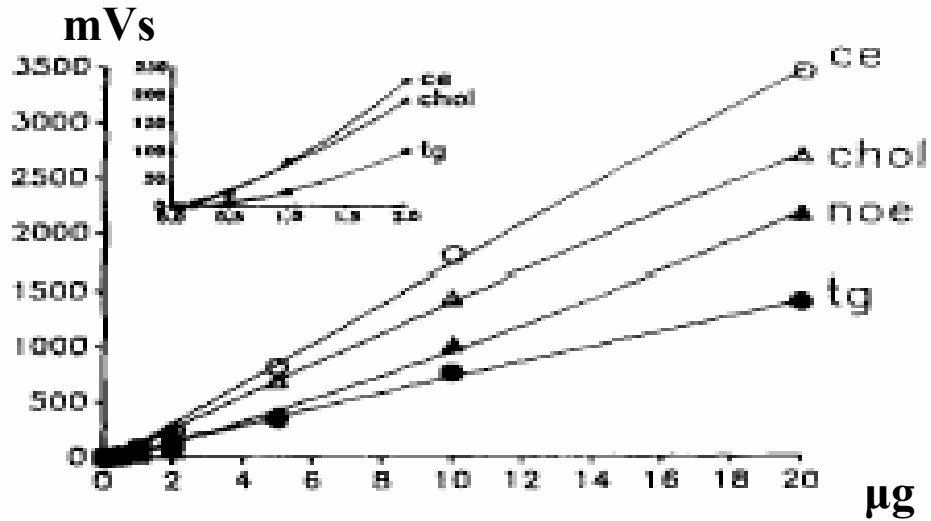


S3W Spherisorb (3 μ m silica), 4.6 x 100 mm, IS - n-oleoylethanolamin

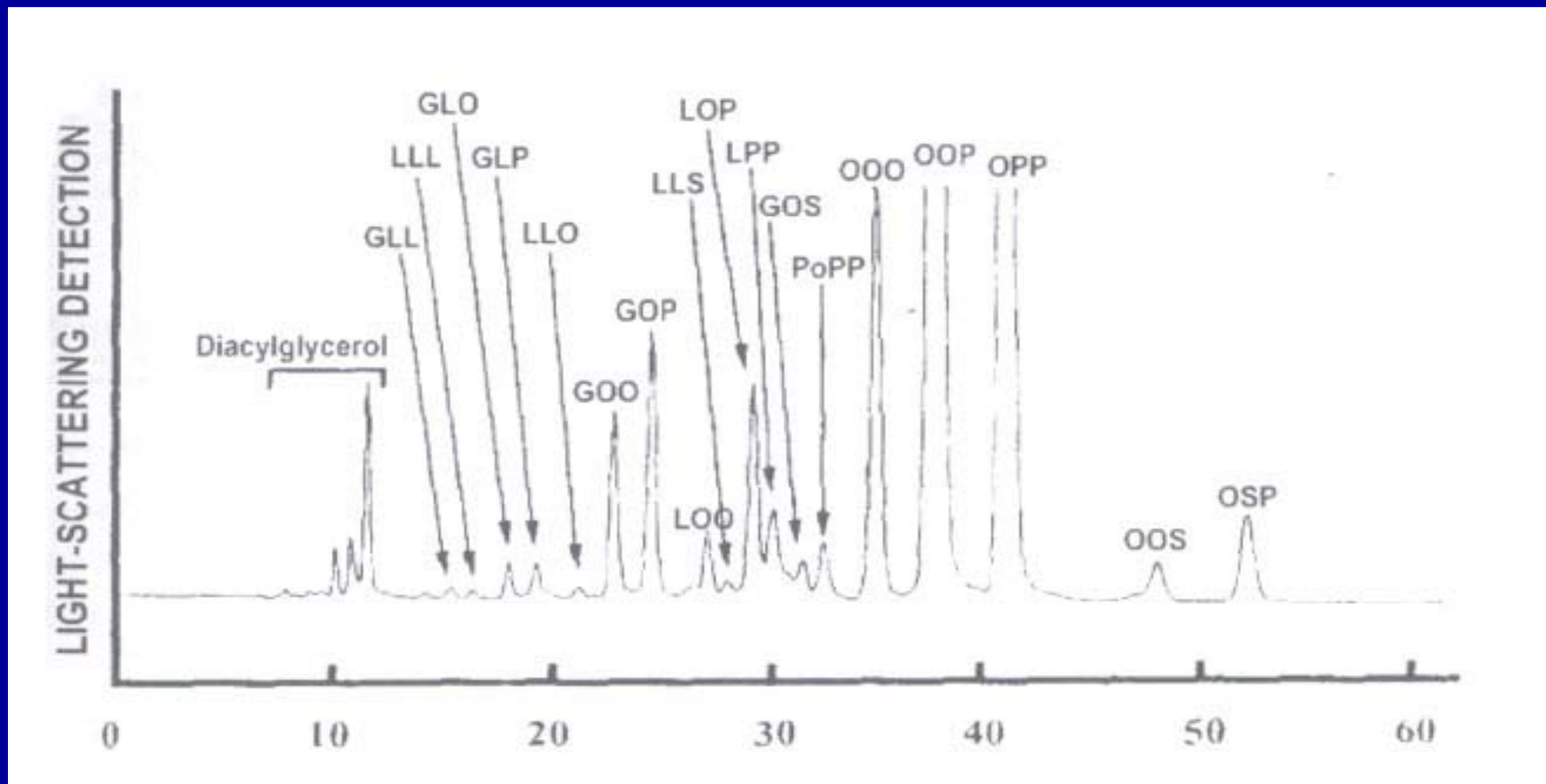
A: isooktan-tetrahydrofuan, B: chloroform-isopropanol, C: isopropanol-voda
(0.5mM serin, pH 7.5 – ethylamin)

Lutzke 1990

HPLC-ELSD - KALIBRACE



MOLEKULÁRNÍ DRUHY TG – RP-HPLC



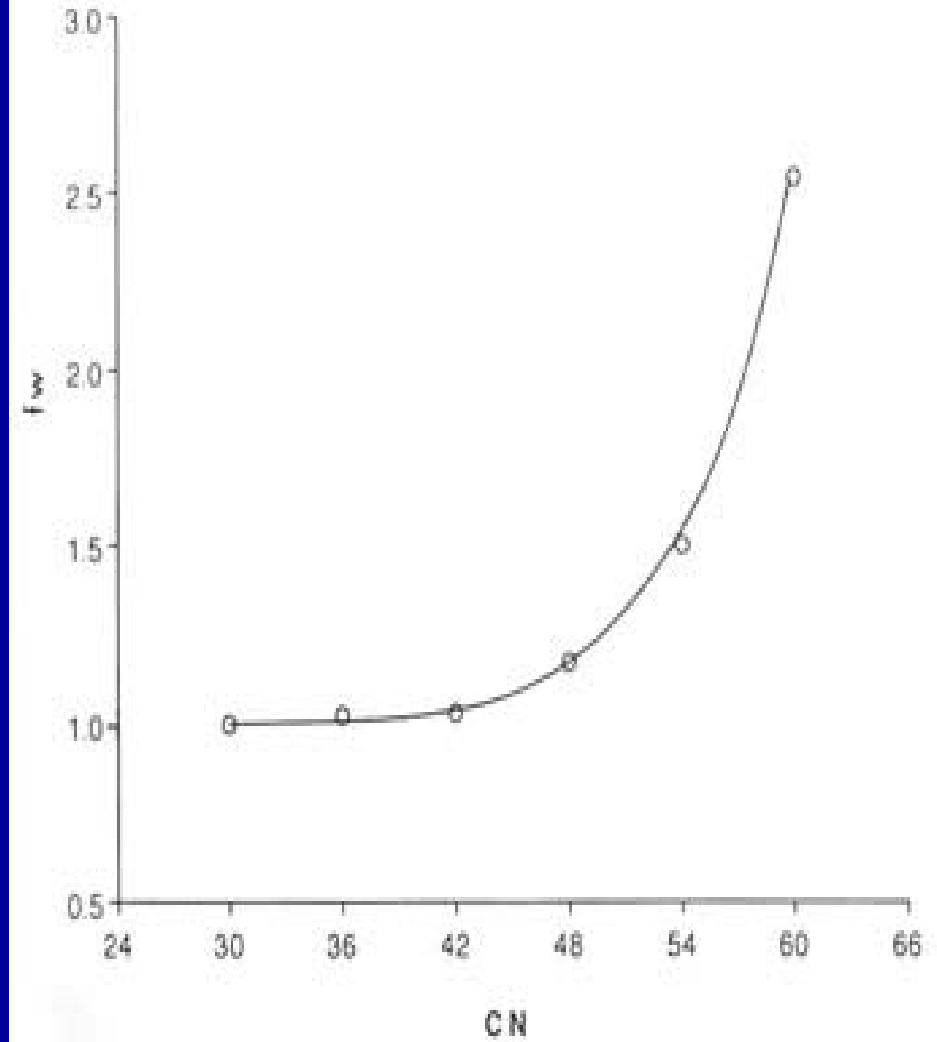
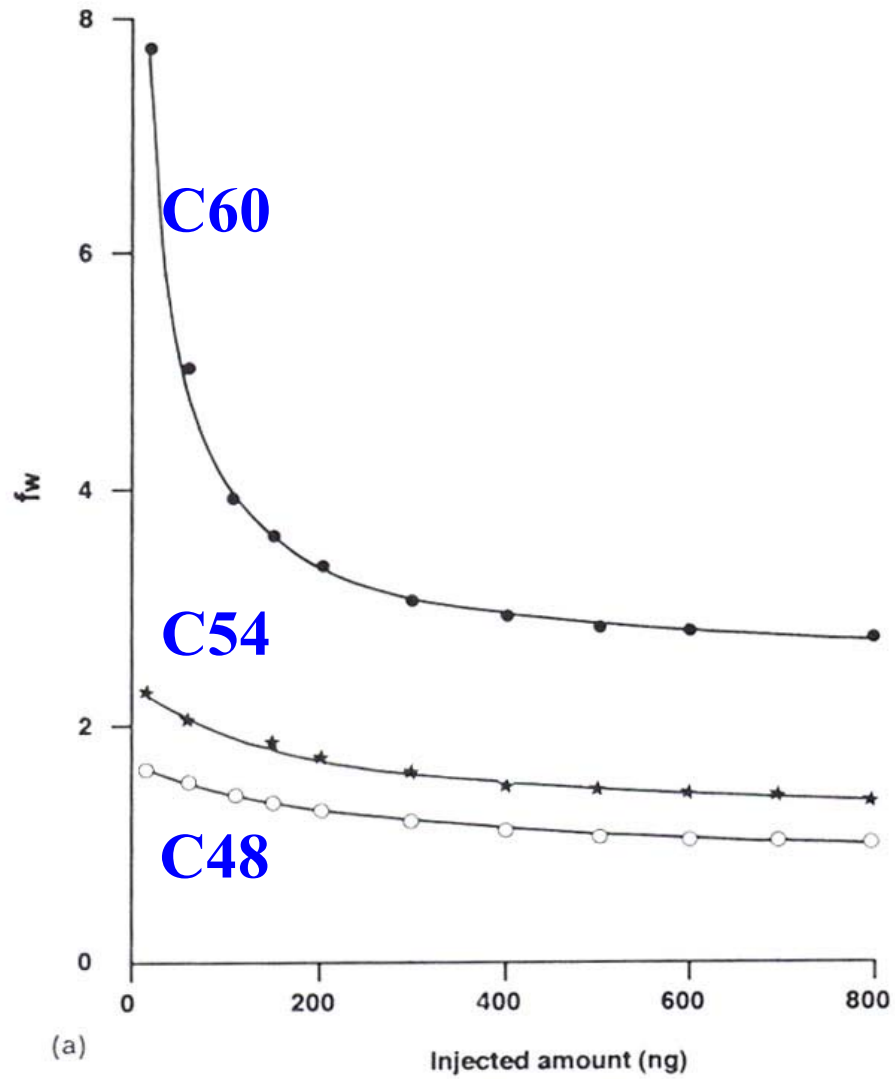
C18 6x250 mm, 5 μ m, ACN-2-propanol 60:40 iso, 1.5 ml/min

Pillai 2002

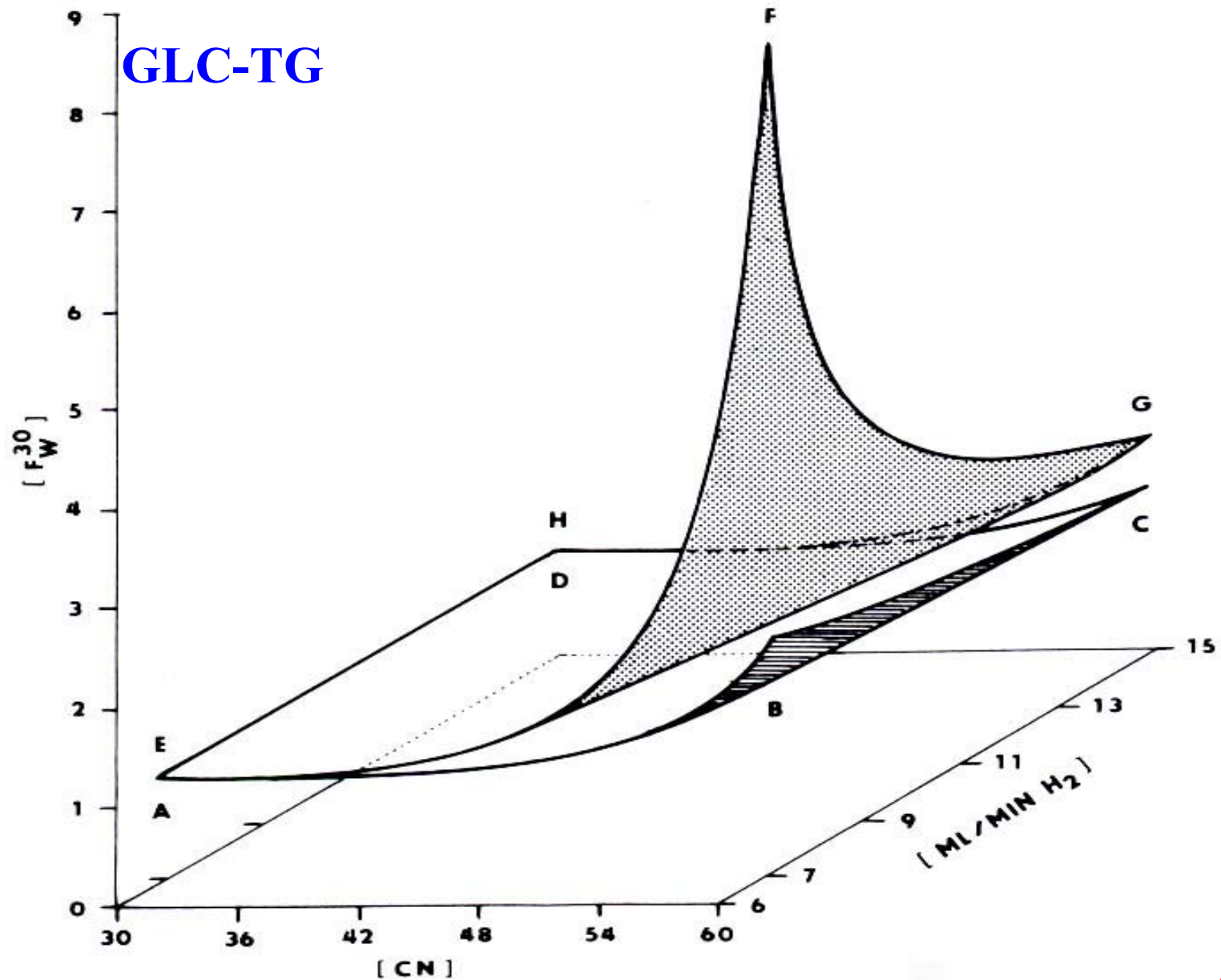
POŘADÍ ELUCE MOLEKULÁRNÍCH DRUHŮ TG

CN:P	HT-GLC	CN:P	RP-HPLC	CN:P	HT-GLC	CN:P	RP-HPLC
46:0	MPP	58:8-9	OOD/OAA	52:2	POO	52:4-48:2	PPA/MPL
46:1	MMO	56:6-54:7	LLA/PoLA	52:3	POL	50:3-48:2	PPL _n /MPL
46:2	MML	54:8	PLD	52:4	PLL	44:0	MMP
48:0	PPP	52:5	PPoD	54:1	SSO	54:4	OOL
48:1	MPO/PPP _o	48:4-46:3	MMA/MML _n	54:2	SOO	52:3	POL
	PoPoPo	46:7	OLA	54:3	OOO	50:2-50:1	PPL/MPO
48:2	MPL	54:6	LLL	54:3	SOL	46:0	MPP
48:3	MPoL	52:5	PoLL	54:4	OOL	54:3	OOO
50:0	MSS	56:6-7	POD	54:4	SLL	52:2	POO
50:0	PPS	54:6	PLA	54:5	OLL	50:1	PPO
50:1	PPO	52:5	PLL _n /PPoA	54:6	LLL	48:0	PPP
50:2	PPL/PPoO	52:6-46:2	PPD/MML			54:2	SOO
50:3	MOL/PPoL	42:0	MMM			54:2	SSL
50:4	MLL	54:5	OLL			52:1	PSO
52:1	PSO	52:4-50:3	PLL/PPoL			50:0	MSS

KALIBRACE – GLC-TG



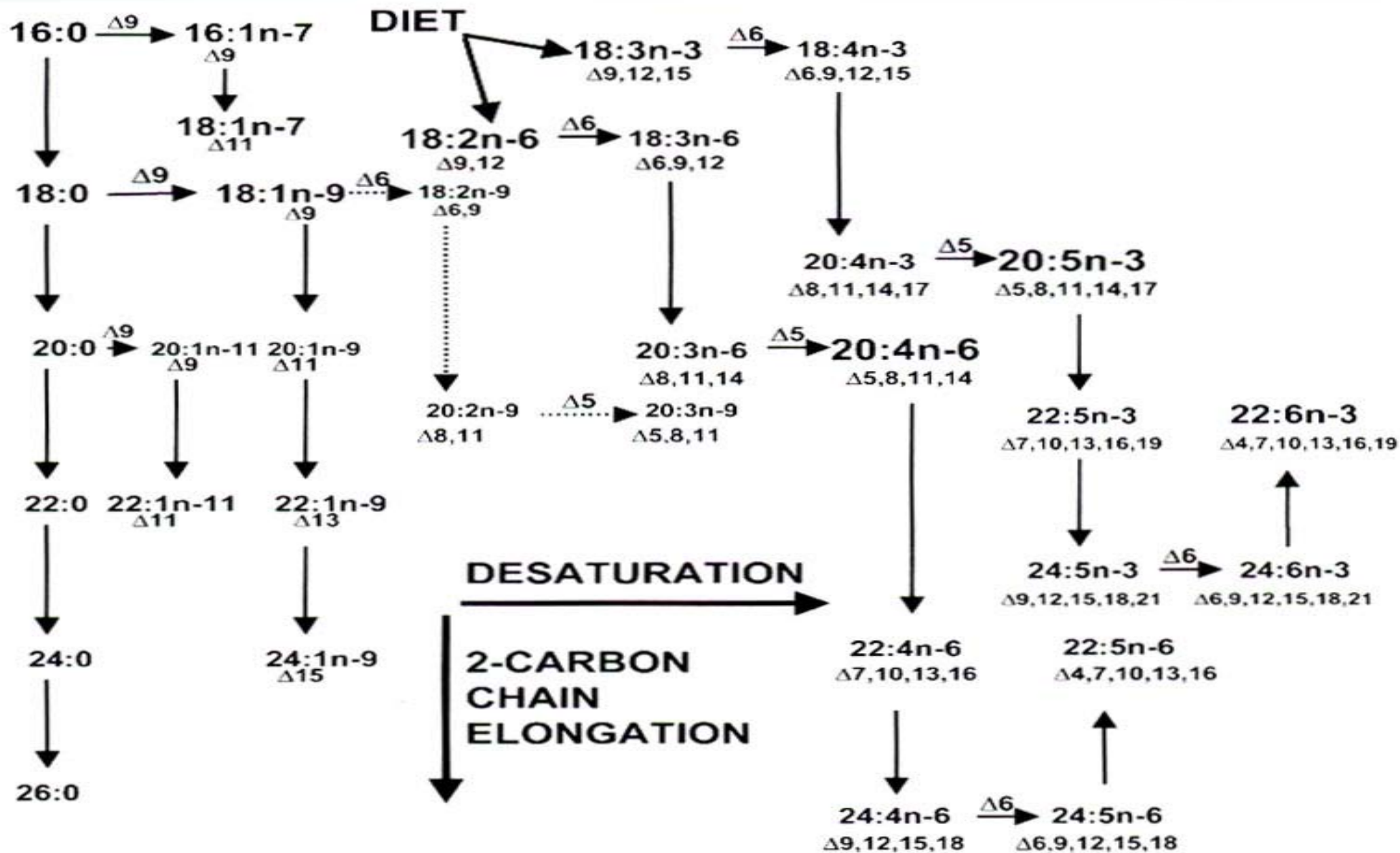
SROVNÁNÍ NÁPLŇOVÉ A KAPILÁRNÍ KOLONY



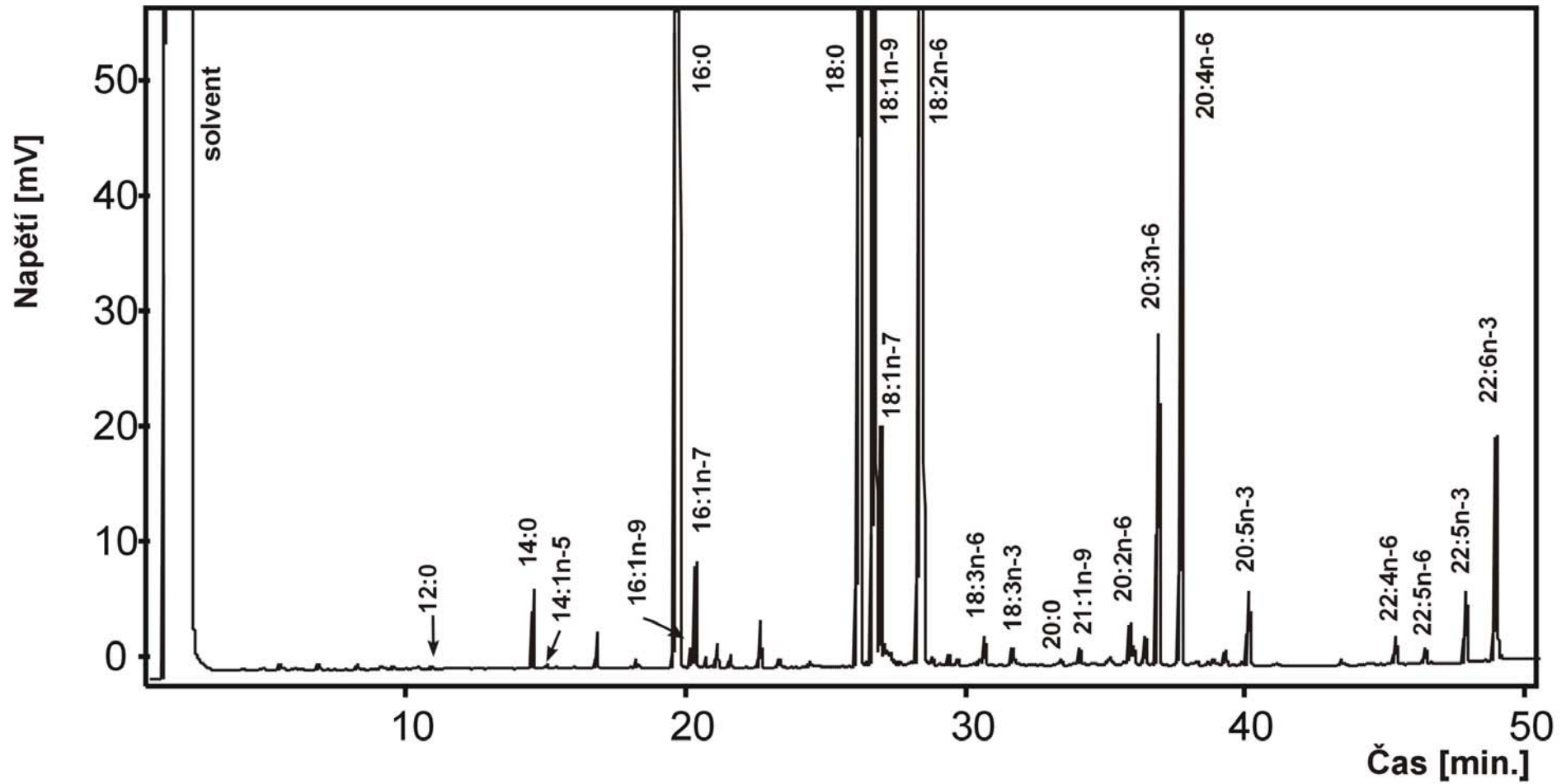
ROZDĚLENÍ MASTNÝCH KYSELIN

- SCFA - octová C2:0, propionová C3:0, máselná C4:0
- MCFA - kapronová C6:0, kaprylová C8:0, kaprinová C10:0
- LCFA - laurová C12:0, myristová 14:0, palmitová C16:0, stearová C18:0
- VLCFA - arachová C20:0, behenová C22:0, lignocerová C24:0, cerotová C26:0, montanová C30:0
- cis MFA - olejová C18:1n-9c, palmitolejová C16:1n-7c
- trans MFA - elaidová C18:1n-9t
- PUFA_{n-3} - α -linolenová C18:3n-3, eicosapentaenová C20:5n-3, docosahexaenová C22:6n-3
- PUFA_{n-6} - linolová C18:2n-6, γ -linolenová C18:3n-6, dihomo- γ -linolenová C20:3n-6, arachidonová C20:4n-6

METABOLICKÁ PŘEMĚNA MASTNÝCH KYSELIN

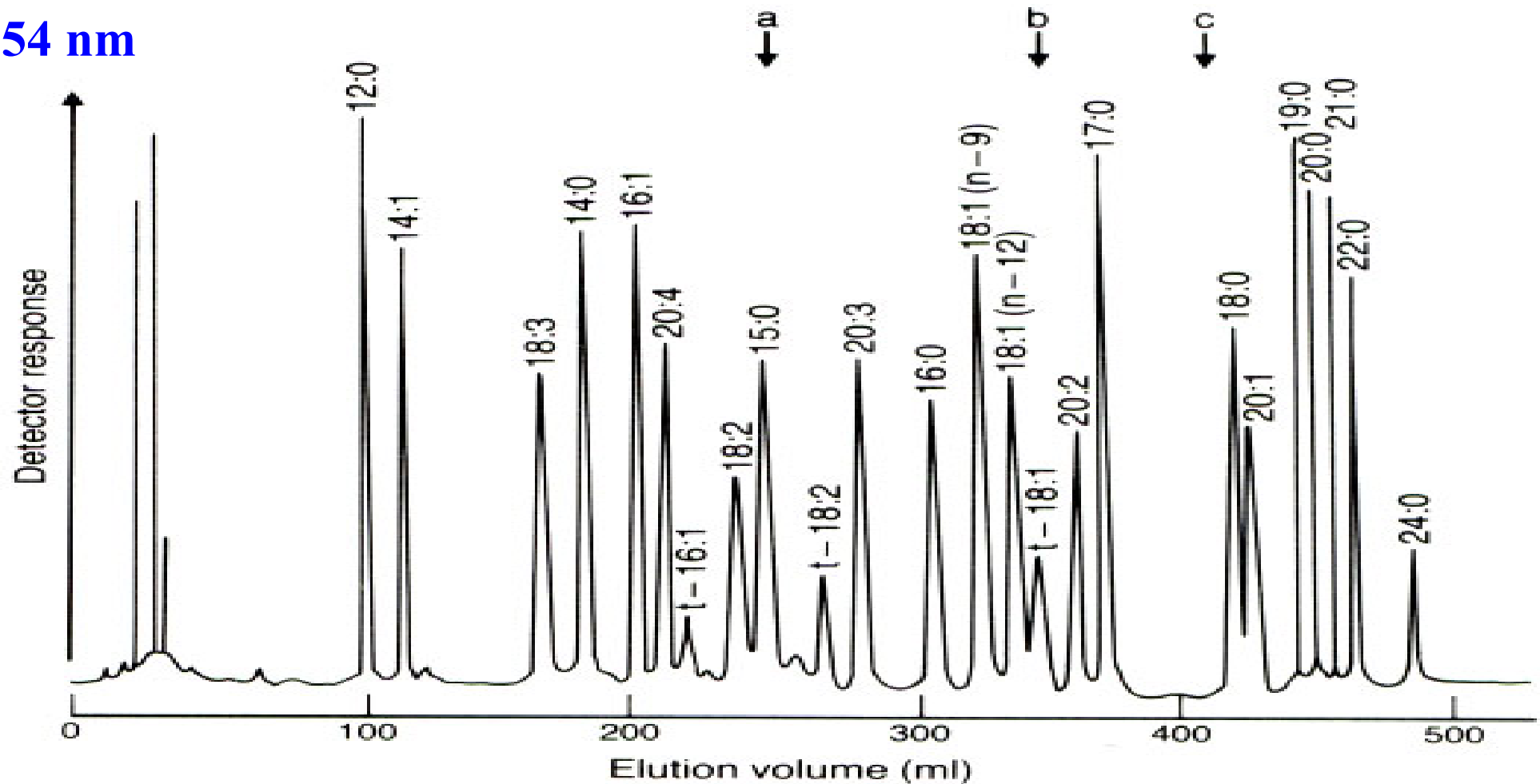


SEPARACE FAME - GLC



SEPARACE FA - RP-HPLC

254 nm

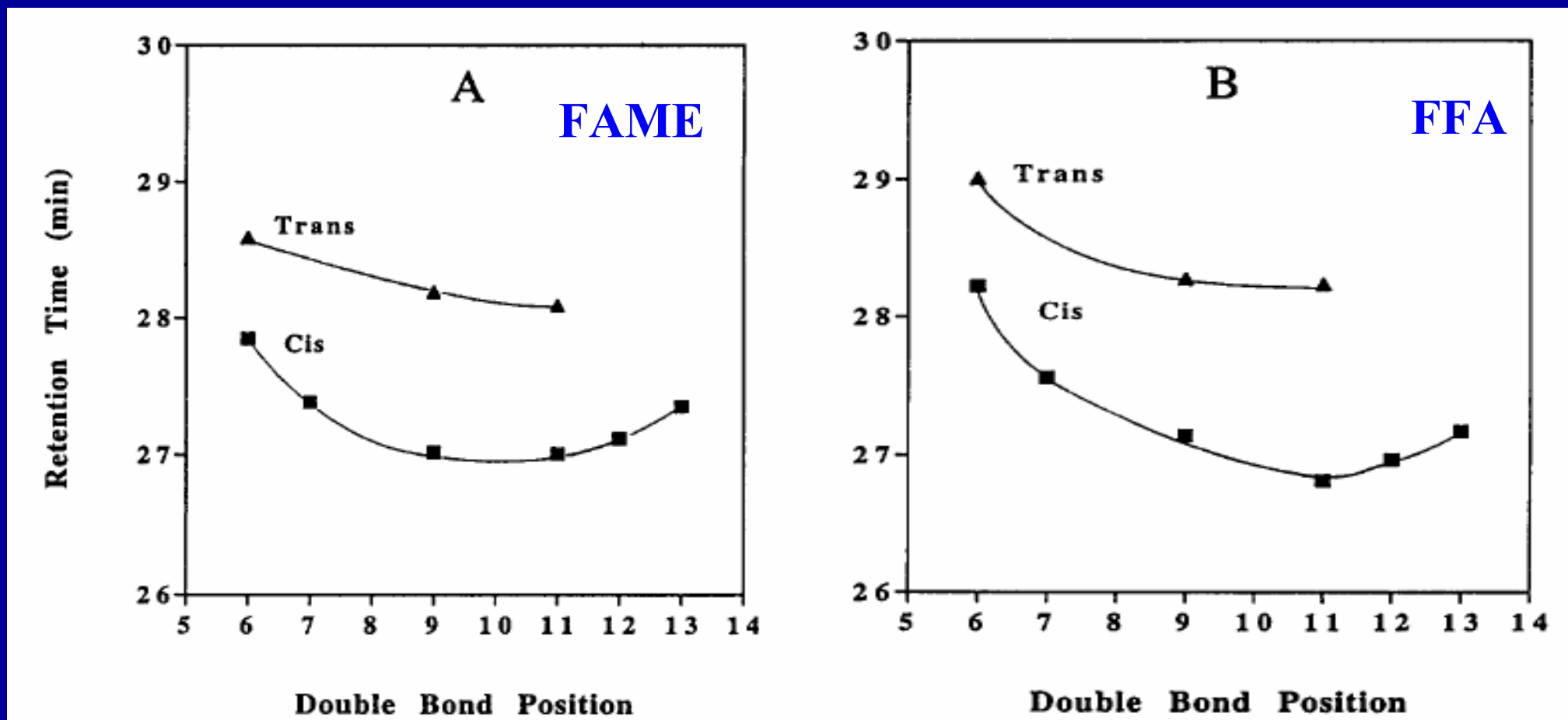


C18 6.4x900 mm, fenacyl der., ACN-H₂O gradient, 2 ml/min

Borch 1975

FAME – RP-HPLC-ELSD

Vliv polohy dvojné vazby na eluční čas



ODS 0.46 x 25 cm, 5 μ m

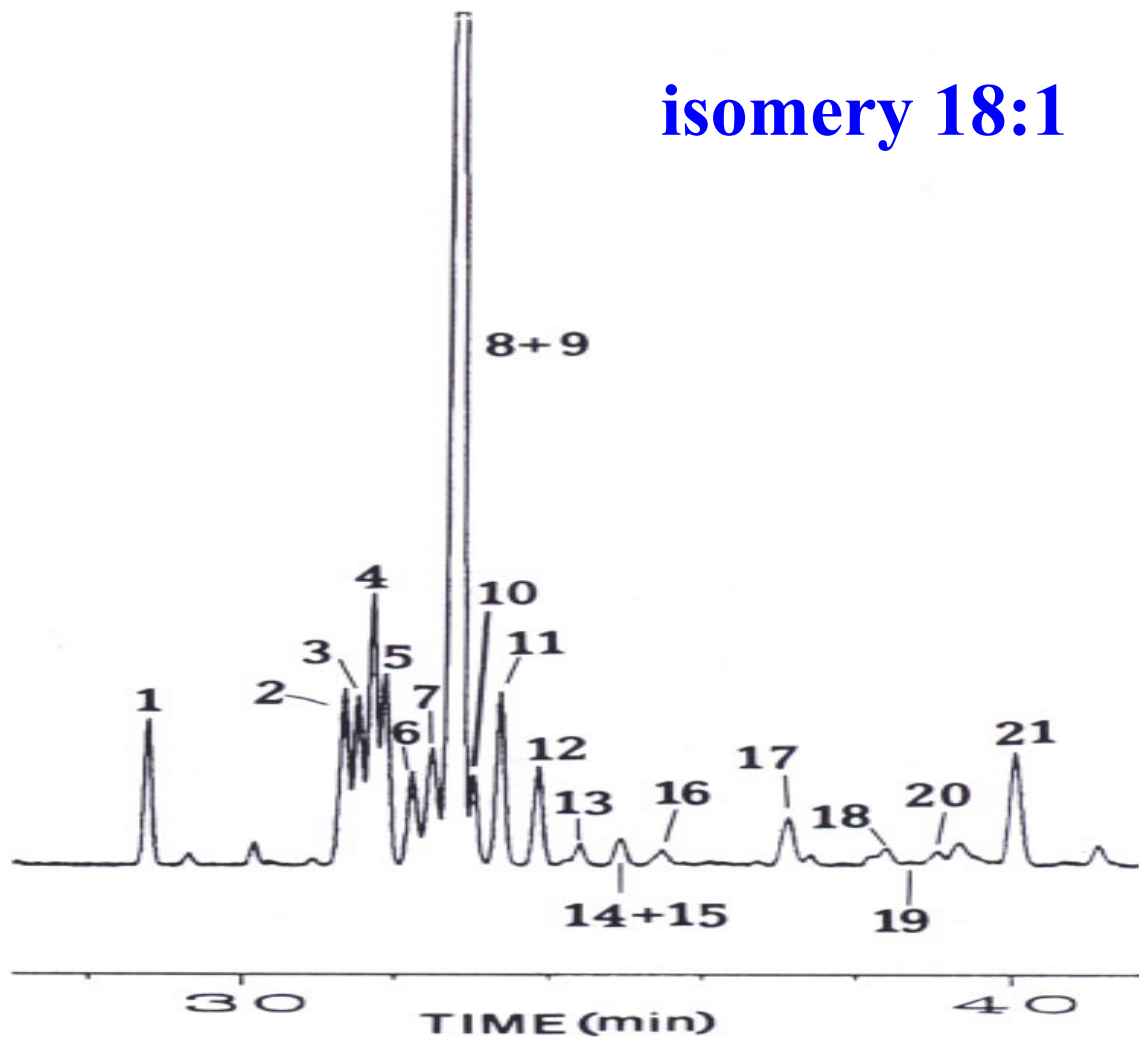
MeOH/H₂O 90-100%, 1 ml/min

MeOH/H₂O 85-100%, 0.05% HAc

Lin 1994

SEPARACE cis-trans FAME - GLC

isomery 18:1



1	18:0	9	15t
2	6t-8t	10	10c
3	9t	11	11c
4	10t	12	12c
5	11t	13	13c
6	12t	14	16t
7	13+14t	15	14c
8	6c-9c	16	15c

Christie 1998

PODĚKOVÁNÍ

Mgr. Lucie Vávrová

Mgr. Jana Kodydková

Mgr. Marek Vecka

MUDr. Jaroslav Macášek

4. interní klinika 1. LF UK Praha